



西南交通大学  
Southwest Jiaotong University

自动控制原理

第三章

# 控制系统的时域分析

任课教师： 马磊

电气工程学院

2020



# 本章内容

- 3.1 引言
- 3.2 状态空间方程的解
- 3.3 一阶系统的暂态响应特性
- 3.4 二阶系统的暂态响应特性
- 3.5 三阶系统的暂态响应特性
- 3.6 控制系统的稳态误差
- 3.7 控制系统的稳定性

# 3.1 引言

## ■ 系统响应

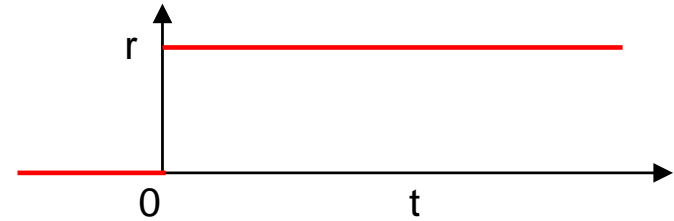
- 稳态响应
- 动态响应



# 典型输入信号

## 1) 阶跃信号 (Step Function)

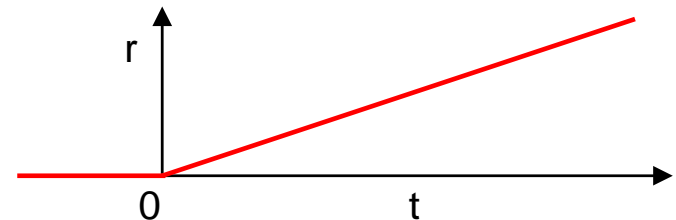
$$r(t) = \begin{cases} 0, & t < 0 \\ A, & t > 0 \end{cases}, R(s) = A/s$$



单位阶跃信号常记为  $1(t)$  或  $u(t)$

## 2) 斜坡信号 (Ramp Function)

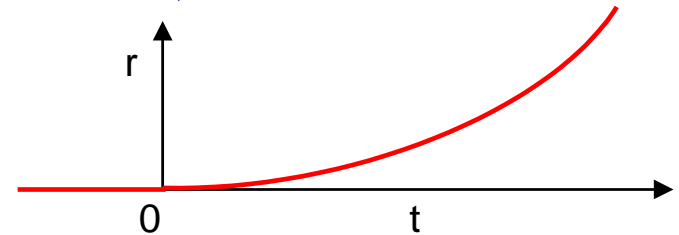
$$r(t) = \begin{cases} 0, & t < 0 \\ At, & t \geq 0 \end{cases}, R(s) = \frac{A}{s^2}$$



# 典型输入信号

## 3) 抛物线信号 (Parabolic Function unction)

$$r(t) = \begin{cases} 0, & t < 0 \\ \frac{1}{2} A t^2, & t \geq 0 \end{cases}, R(s) = \frac{A}{s^3}$$



当 $A=1$ 时，分别称为单位阶跃、单位斜坡、单位抛物线函数(信号)

## 4) 脉冲信号 (Impulse function)

$$r(t) = \begin{cases} \lim_{t_0 \rightarrow 0} \frac{A}{t_0}, & 0 < t < t_0 \\ 0, & \text{other} \end{cases}, R(s) = A$$





# 典型输入信号

单位脉冲函数  $\delta(t - t_0) = \begin{cases} \infty, & t = t_0 \\ 0, & t \neq t_0 \end{cases}$

特点  $\int_{-\infty}^{\infty} \delta(t) dt = 1 \rightarrow \int_{0-}^{0+} \delta(t) dt = 1$

采样特性

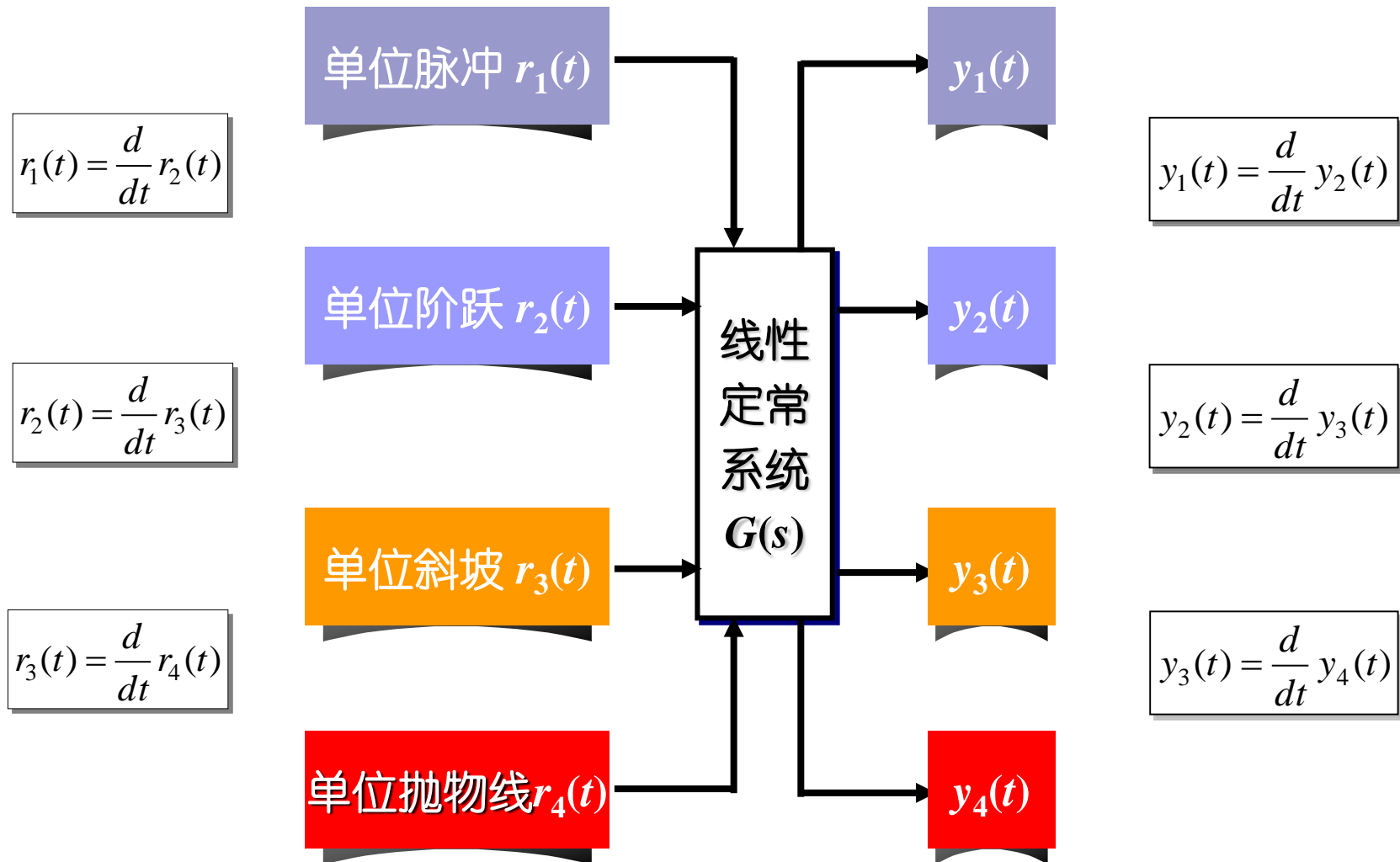
$$\int_{-\infty}^{\infty} f(t) \delta(t) dt = f(0) \text{ 或 } \int_{-\infty}^{\infty} f(t) \delta(t - t_0) dt = f(t_0)$$

单位脉冲函数作为典型输入信号，用于考察系统的脉冲响应，分析系统的固有性质：

输入：  $r(t) = \delta(t), R(s) = 1$

输出：  $Y(s) = G(s)R(s) = G(s), y(t) = g(t)$

# 四个函数之间的关系





# 典型输入信号

## ■ 正弦信号(Sinusoidal Function)

$$r(t) = A \sin(\omega t + \varphi),$$

$$R(s) = A e^{\frac{\varphi}{\omega} s} \frac{\omega}{s^2 + \omega^2},$$





# 线性定常系统的一个特性

- 系统对输入信号导数的响应，等于系统对该输入信号响应的导数；或者，系统对输入信号积分的响应，等于系统对该输入信号响应的积分，积分常数由零初始条件确定。



## 3.2 状态空间方程的解

### ■ 系统

$$\dot{x}(t) = Ax(t) + bu(t)$$

$$y(t) = C'x(t) + du(t)$$

### ■ 问题：

- 如何解上述一阶微分方程组？
- 微分方程的解与各参数的关系
- 微分方程的解之深入认识

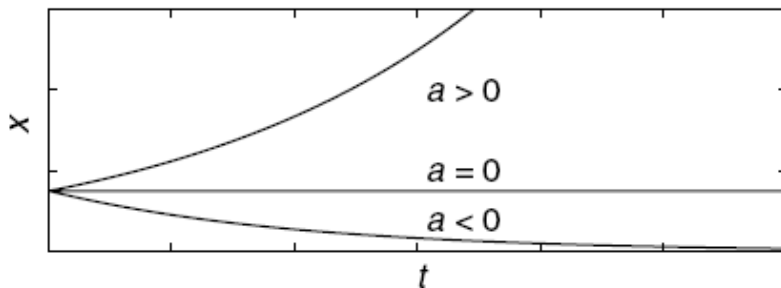
# 一阶常系数微分方程的解

## ■ 微分方程

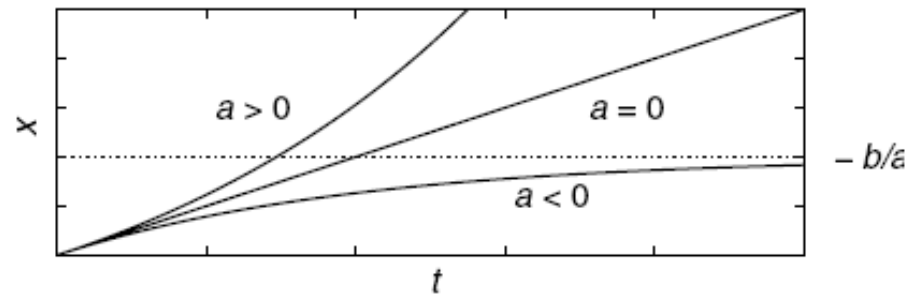
$$\dot{x}(t) = ax(t) + bu(t), \quad x(0) = x_0$$

## ■ 解:

$$x(t) = \phi(t)x_0 + \int_0^t \phi(t-\tau) bu(\tau) d\tau$$



自由运动



受迫运动

# 状态空间方程的解

$$\mathbf{x}(t) = e^{\mathbf{A}t} \mathbf{x}_0 + \int_0^t e^{\mathbf{A}(t-\tau)} \mathbf{b}u(\tau) d\tau.$$

## ■ 讨论

□ 状态转移矩阵（矩阵指数函数）的定义和计算

$$\Phi(t) = e^{\mathbf{A}t}$$

$$e^{\mathbf{A}t} = \sum_{i=0}^{\infty} \frac{\mathbf{A}^i t^i}{i!} = \mathbf{I} + \mathbf{A}t + \frac{\mathbf{A}^2}{2!} t^2 + \frac{\mathbf{A}^3}{3!} t^3 + \dots$$

$$e^{at} = \sum_{i=0}^{\infty} \frac{a^i t^i}{i!} = 1 + at + \frac{a^2}{2!} t^2 + \frac{a^3}{3!} t^3 + \dots$$

□ 系统响应与系统矩阵特征值的关系

# 系统矩阵的规范型

- 通过矩阵相似变换，可将系统矩阵A转化为对角规范型或约当规范型，便于状态转移矩阵的计算
- 对角规范型：

$$e^{\text{diag } \lambda_i t} = \begin{pmatrix} e^{\lambda_1 t} & & & \\ & e^{\lambda_2 t} & & \\ & & \ddots & \\ & & & e^{\lambda_n t} \end{pmatrix} = \text{diag } e^{\lambda_i t}.$$



# 系统输出

## ■ 系统输出的完整形式

$$y(t) = c'e^{At}x_0 + \int_0^t c'e^{A(t-\tau)}bu(\tau)d\tau + du(t)$$

## ■ 单位阶跃响应

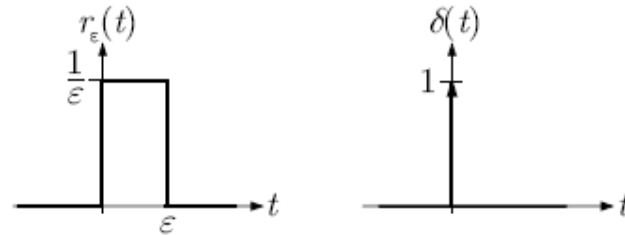
$$h(t) = d - c'A^{-1}b + c'A^{-1}e^{At}b.$$

### □ 静态放大系数

$$k_s = -c'A^{-1}b + d.$$

# 单位脉冲响应

## ■ 狄拉克脉冲

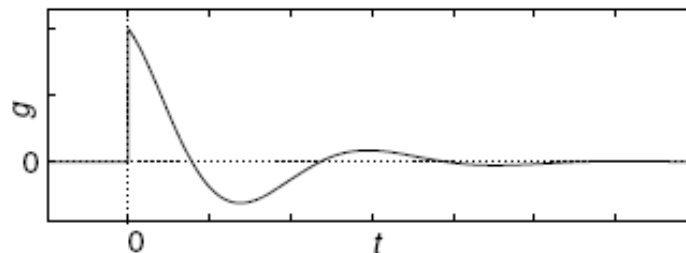


## ■ 单位脉冲响应

$$g(t) = c'e^{At}b + d\delta(t)$$

## ■ 若系统矩阵为对角矩阵，则

$$g(t) = c'e^{diag\lambda_i t}b + d\delta(t) = \sum_{i=1}^n c_i b_i e^{\lambda_i t} + d\delta(t) = \sum_{i=1}^n g_i e^{\lambda_i t} + d\delta(t)$$





# 稳态与暂态响应

- 系统的受迫运动由稳态响应和暂态响应构成
- 分析方法：
  - 将输入信号分解成若干指数函数之和

$$u(t) = \sum_{j=1}^m u_j e^{\mu_j t}$$

- 系统输出（不考虑初始条件）是单位脉冲响应与输入信号的卷积：

$$y = g * u$$



# 稳态与暂态响应

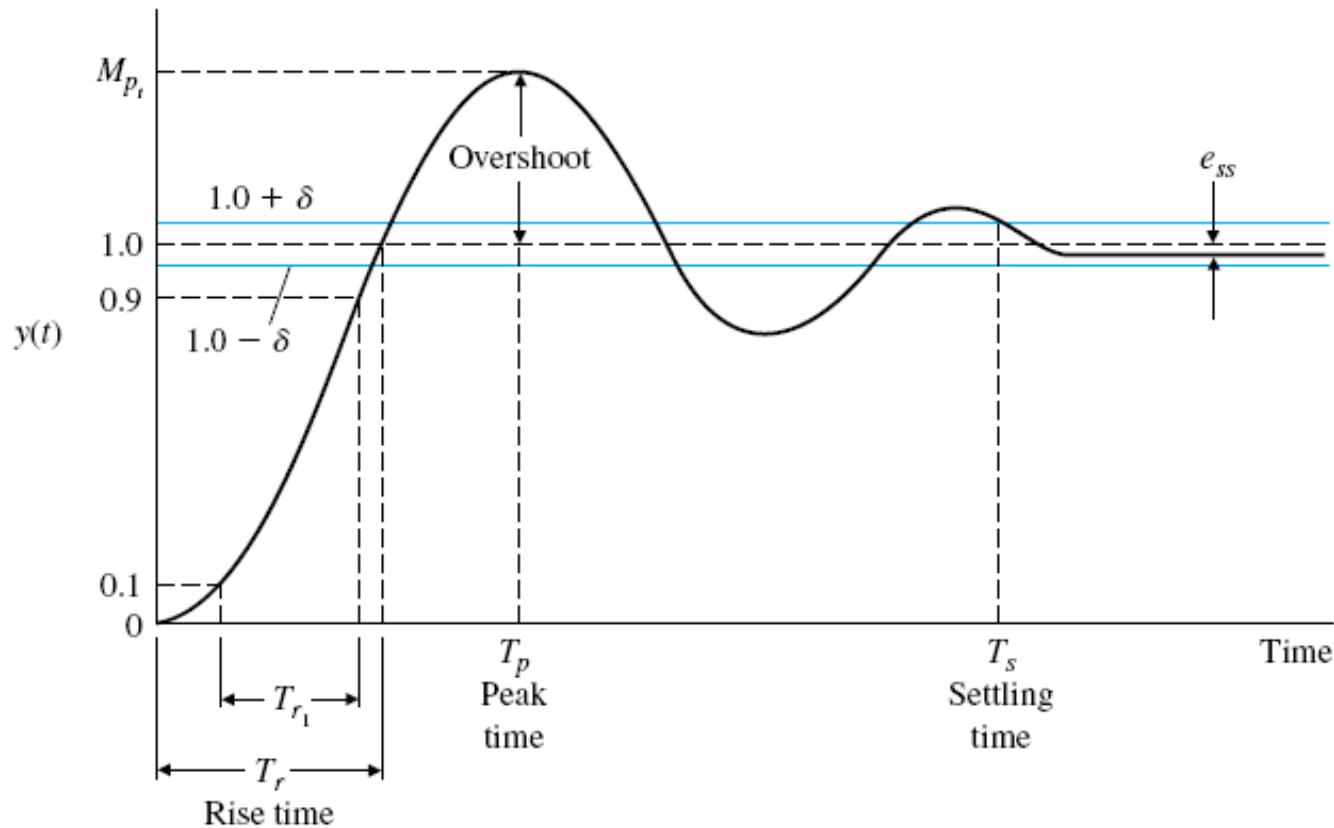
$$\begin{aligned} y(t) &= \int_0^t \sum_{i=1}^n \sum_{j=1}^m g_i u_j e^{\lambda_i(t-\tau)} e^{\mu_j \tau} d\tau \\ &= \sum_{i=1}^n \sum_{j=1}^m g_i u_j e^{\lambda_i t} \int_0^t e^{(\mu_j - \lambda_i)\tau} d\tau \\ &= \sum_{i=1}^n \sum_{j=1}^m \frac{g_i u_j}{\lambda_i - \mu_j} e^{\lambda_i t} + \sum_{i=1}^n \sum_{j=1}^m \frac{g_i u_j}{\mu_j - \lambda_i} e^{\mu_j t} \end{aligned}$$

暂态响应，由特征值决定

稳态响应，由输入决定

# 单位阶跃响应与性能指标

## ■ 控制系统的典型单位阶跃响应曲线





# 暂态性能指标

- **延迟时间  $T_d$** : 系统响应从0上升到稳态值的50%所需要的时间
- **上升时间  $T_r$** 
  - 系统响应从0上升到稳态值所需时间(有振荡系统)
  - 系统响应从稳态值的10%上升到90%所需时间(无振荡系统)
- **峰值时间  $T_p$** : 系统响应达到最大峰值所需要的时间



# 暂态性能指标

- (最大)超调量 $\sigma$ : 系统响应超出稳态值的最大偏离量(常以百分比表示)

$$\sigma\% \stackrel{def}{=} \frac{y(T_p) - y(\infty)}{y(\infty)} \times 100\% \quad (3.1)$$

- 调节时间 $T_s$ : 系统响应与稳态值之差达到误差 $\pm \Delta$ 所需要的最小时间

$$|y(t) - y(\infty)| \leq y(\infty)\Delta, \quad t \geq T_s$$

- 振荡次数 $N$ : 调节时间 $T_s$ 内,  $y(t)$ 偏离 $y(\infty)$ 的振荡次数

# 3.3 一阶系统的暂态响应特性

## 一阶系统的暂态性能指标

★ 延迟时间  $T_d$ :

$$y(t)|_{t=T_d} = 1 - e^{-T_d/T} = 0.5$$

$$T_d = -T \ln(0.5) = 0.69T \quad (3.3)$$

★ 上升时间  $T_r$ :

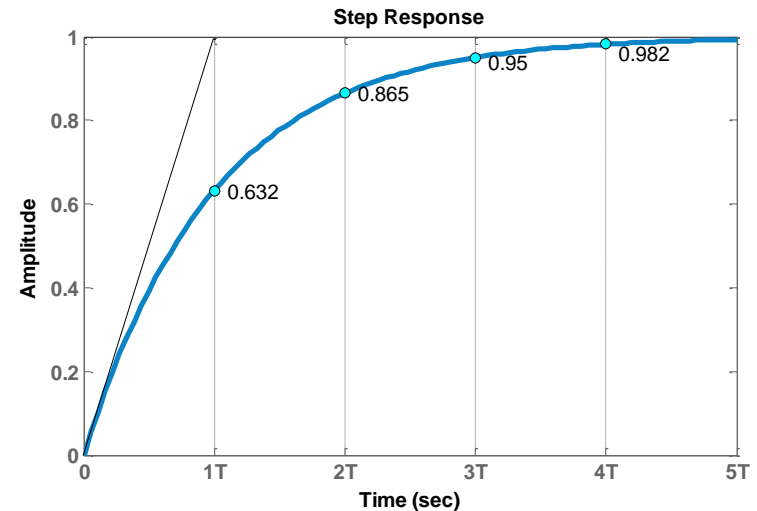
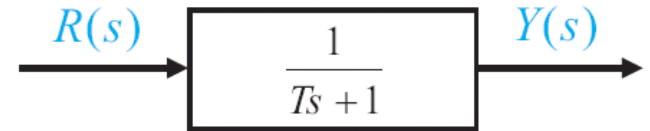
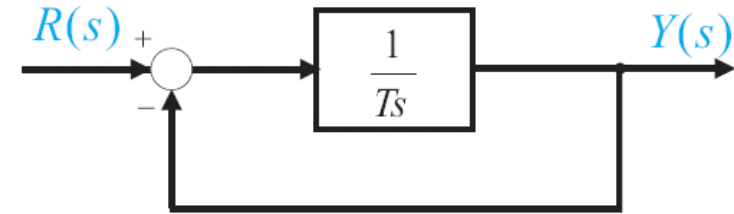
$$y(t_{0.1}) = 0.1 = 1 - e^{-t_{0.1}/T}$$

$$t_{0.1} = -T \ln 0.9 = 0.105T$$

$$y(t_{0.9}) = 0.9 = 1 - e^{-t_{0.9}/T}$$

$$t_{0.9} = -T \ln 0.1 = 2.303T$$

$$T_r = t_{0.9} - t_{0.1} = 2.20T \quad (3.4)$$



# 一阶系统的暂态响应特性

## 单位脉冲响应

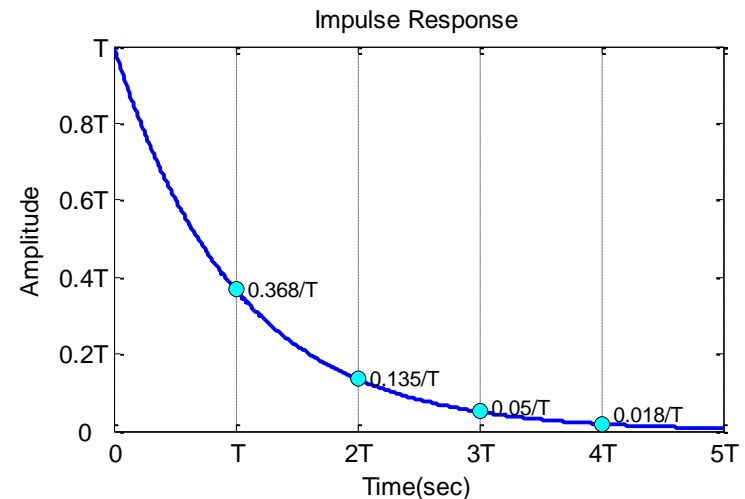
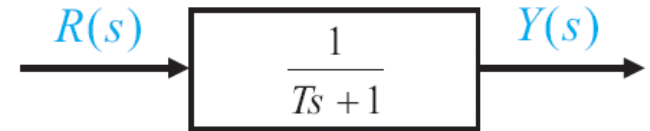
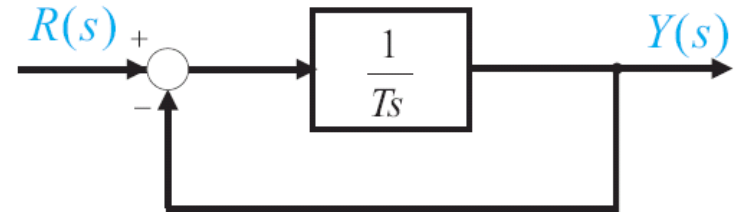
$$r(t) = \delta(t), R(s) = 1$$

$$Y(s) = G(s)R(s)$$

$$= \frac{1}{Ts + 1} 1 = \frac{1/T}{s + 1/T}$$

$$y(t) = \frac{1}{T} e^{-\frac{t}{T}}, t \geq 0$$

(3.5)



# 一阶系统的暂态响应特性

## 单位斜坡响应

$$r(t) = t1(t), R(s) = 1/s^2$$

$$Y(s) = G(s)R(s)$$

$$= \frac{1}{Ts+1} \frac{1}{s^2} = \frac{1}{s^2} - \frac{T}{s} + \frac{T^2}{Ts+1}$$

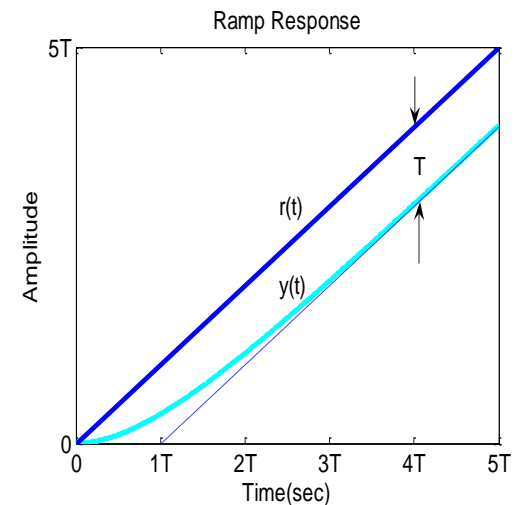
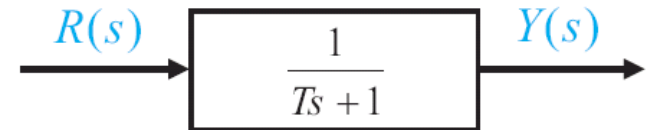
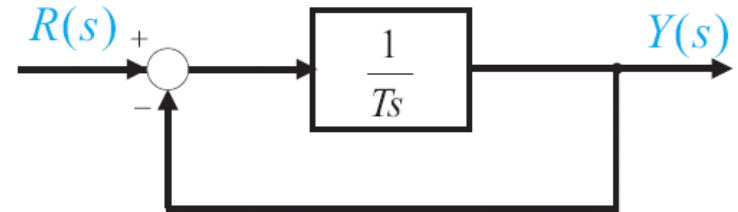
$$y(t) = t - T + Te^{-\frac{t}{T}} = t - T(1 - e^{-\frac{t}{T}}), t \geq 0$$

$$e(t) = r(t) - y(t) = T(1 - e^{-\frac{t}{T}}) \quad (3.6)$$

(3.6)

(3.7)

$$e(\infty) = T$$



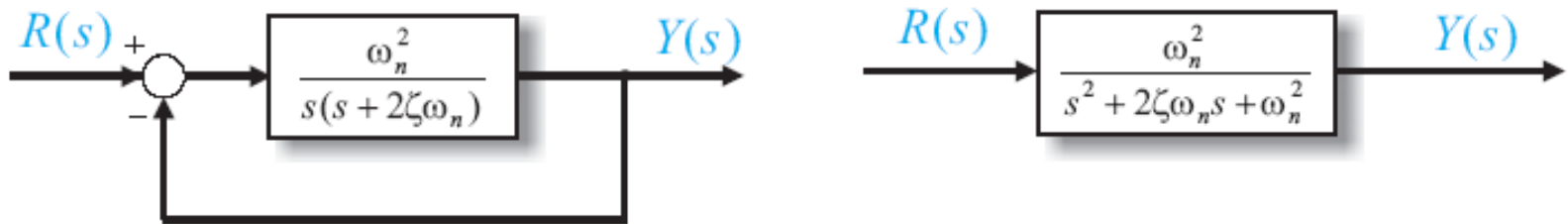
## 3.4 二阶规范系统的暂态响应

### ■ 二阶规范系统(二阶典型(无零点)系统)

#### □ 闭环传递函数

$$T(s) = \frac{Y(s)}{R(s)} = \frac{\omega_n^2}{s^2 + 2\zeta\omega_n s + \omega_n^2} \quad (3.8)$$

#### □ 典型结构图







# 二阶规范系统的暂态响应

- 二阶规范系统响应特性的讨论以闭环传函形式为准

- 特征方程 
$$s^2 + 2\zeta\omega_n s + \omega_n^2 = 0 \quad (3.9)$$

- 特征根 
$$-p_{1,2} = -\zeta\omega_n \pm \omega_n \sqrt{\zeta^2 - 1} \quad (3.10)$$

- $\zeta < 0, \text{Re}(-p_{1,2}) > 0$ , 系统不稳定 (不讨论)
- $\zeta = 0$  无阻尼
- $0 < \zeta < 1$  欠阻尼
- $\zeta = 1$  临界阻尼
- $\zeta > 1$  过阻尼

# 二阶规范系统单位阶跃响应

欠阻尼的情况(  $0 < \zeta < 1$  )

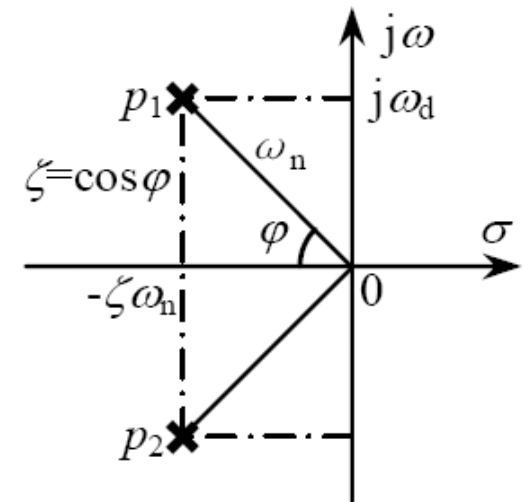
$$-p_{1,2} = -\zeta\omega_n \pm j\omega_n\sqrt{1-\zeta^2} = \sigma \pm j\omega_d \quad (3.11)$$

$\omega_n$  : 无阻尼自然振荡(角)频率

$\omega_d = \omega_n\sqrt{1-\zeta^2}$  阻尼自然振荡(角)频率

$\zeta$  : 阻尼比

$\sigma$  : 阻尼系数或衰减系数





# 二阶规范系统单位阶跃响应

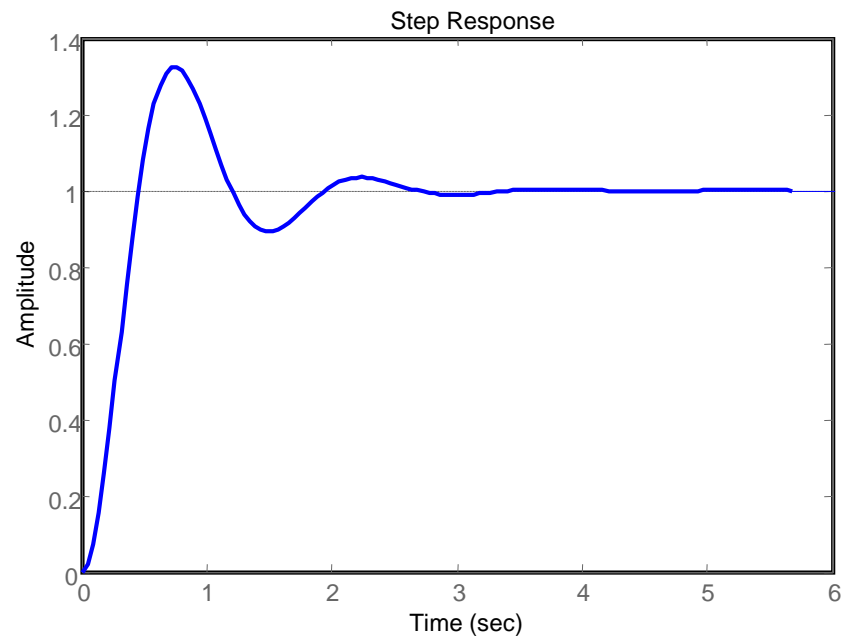
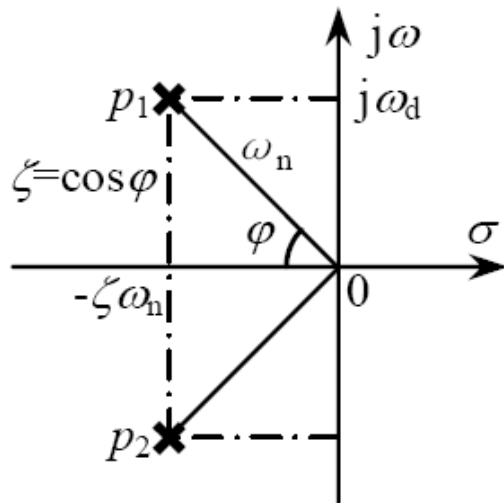
$$\begin{aligned} Y(s) &= \frac{\omega_n^2}{(s^2 + 2\zeta\omega_n s + \omega_n^2)} \frac{1}{s} = \frac{1}{s} - \frac{s + 2\zeta\omega_n}{s^2 + 2\zeta\omega_n s + \omega_n^2} \\ &= \frac{1}{s} - \frac{s + \zeta\omega_n + \frac{\zeta}{\sqrt{1-\zeta^2}} \omega_n \sqrt{1-\zeta^2}}{(s + \zeta\omega_n)^2 + \omega_n^2(1-\zeta^2)} \end{aligned} \quad (3.12)$$

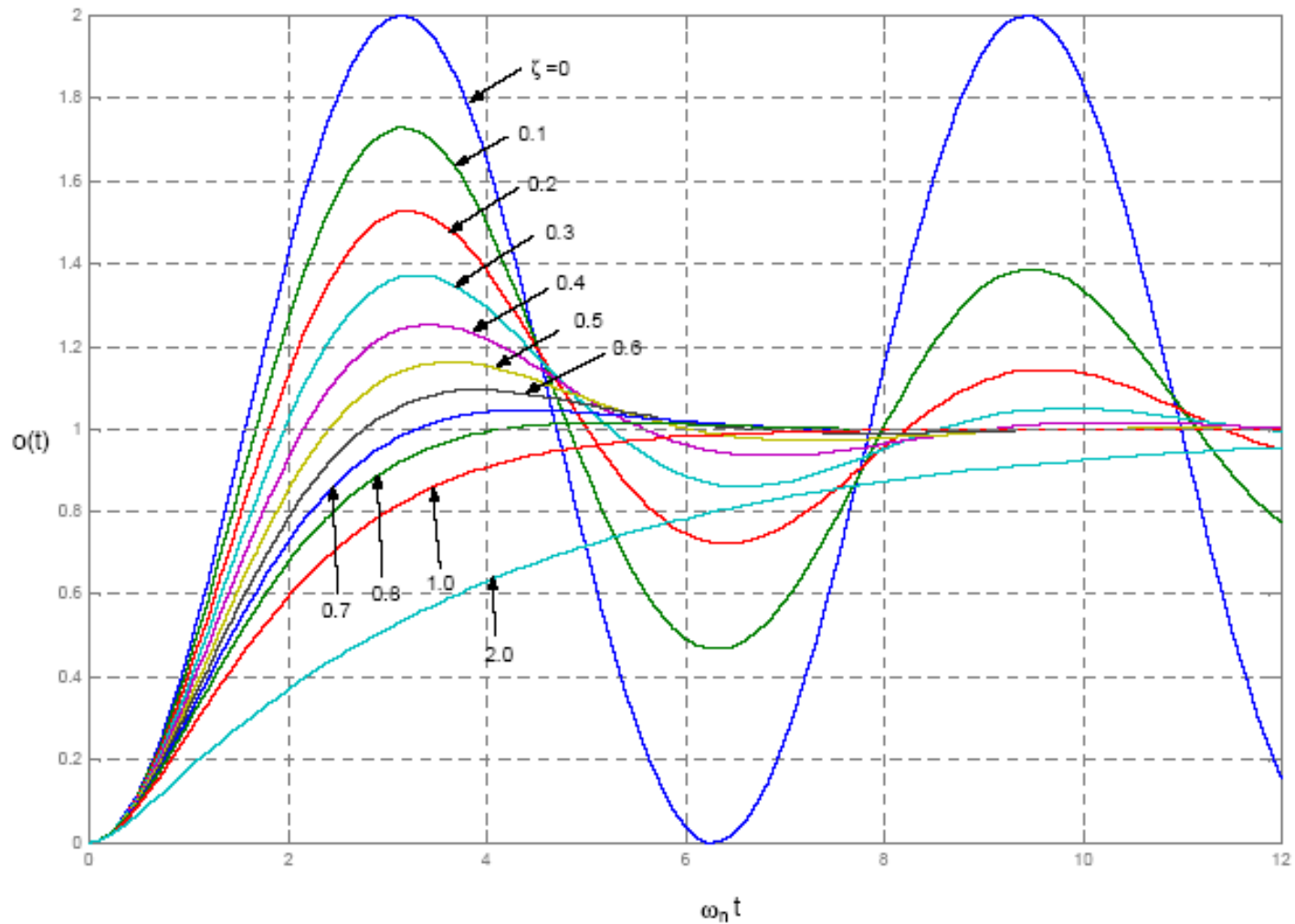
$$\begin{aligned} \mathcal{L}^{-1}[Y(s)] &= y(t) = 1 - e^{-\zeta\omega_n t} \left( \cos \omega_n \sqrt{1-\zeta^2} t + \frac{\zeta}{\sqrt{1-\zeta^2}} \sin \omega_n \sqrt{1-\zeta^2} t \right) \\ &= 1 - \frac{e^{-\zeta\omega_n t}}{\sqrt{1-\zeta^2}} \sin \left( \omega_n \sqrt{1-\zeta^2} t + \varphi \right), t \geq 0 \end{aligned} \quad (3.13)$$

$$\varphi = \tan^{-1} \frac{\sqrt{1-\zeta^2}}{\zeta} \quad (3.14)$$

# 二阶规范系统单位阶跃响应

(3.13)是一个振幅按指数衰减的振荡;  
 $y(\infty)=1$ , 无稳态误差;





# 二阶规范系统单位阶跃响应

## 无阻尼的情况( $\zeta = 0$ )

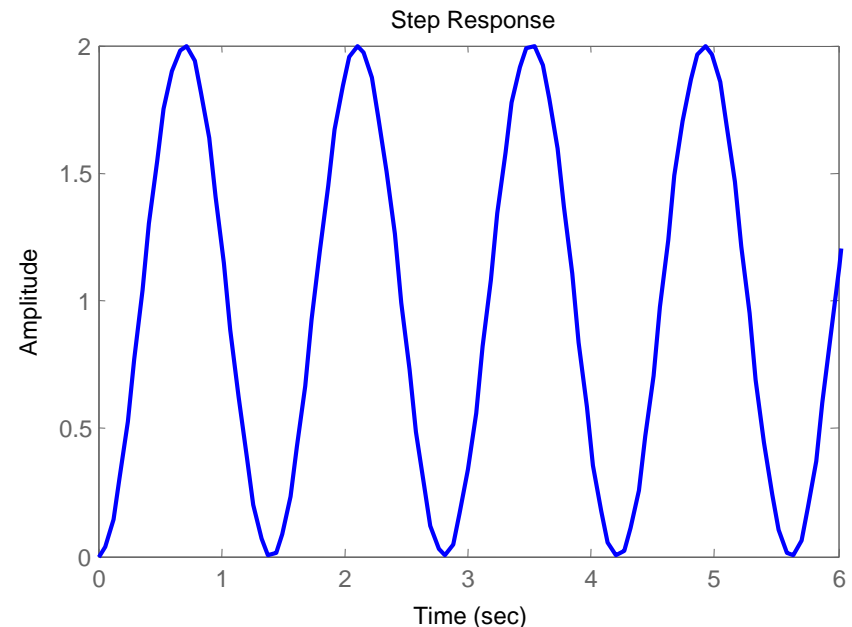
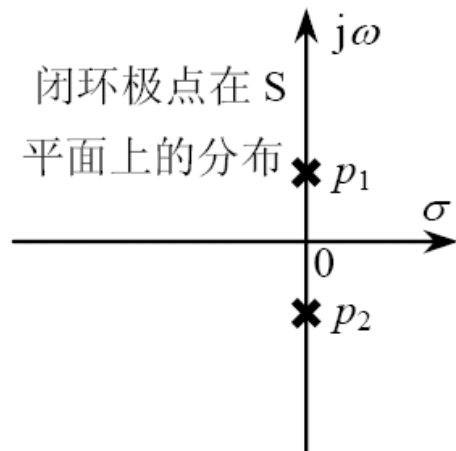
由(3.12), (3.13)令 $\zeta = 0$ 得到无阻尼时的阶跃响应

$$Y(s) = \frac{\omega_n^2}{(s^2 + \omega_n^2)} \frac{1}{s} = \frac{1}{s} - \frac{s}{s^2 + \omega_n^2}$$

$$y(t) = 1 - \cos \omega_n t, \quad t \geq 0$$

(3.15)

(3.15)是一个无衰减的振荡;



# 二阶规范系统单位阶跃响应

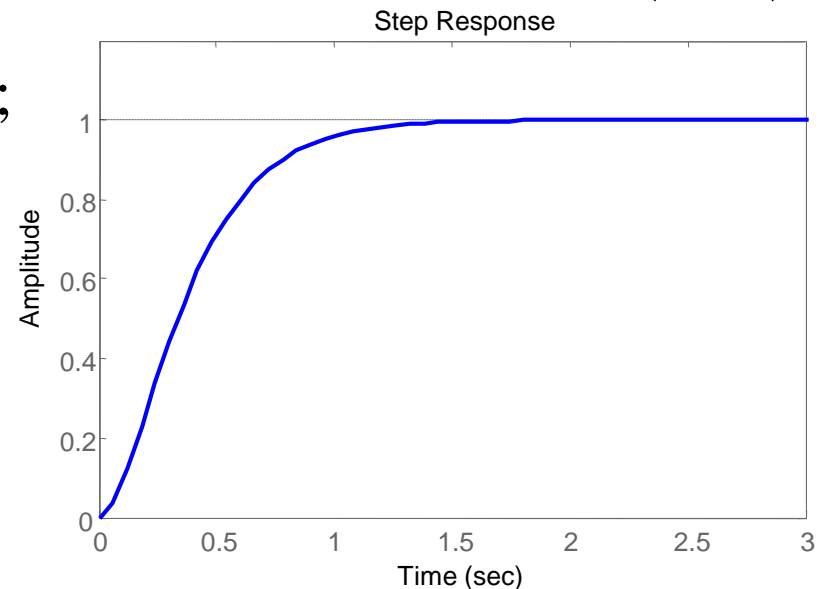
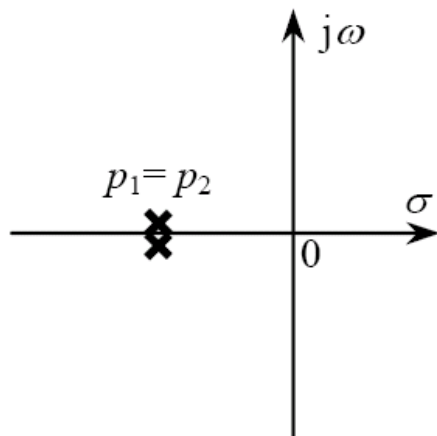
临界阻尼的情况(  $\zeta = 1$  )

$$-p_{1,2} = \sigma \pm j\omega_d = -\omega_n$$

$$Y(s) = \frac{\omega_n^2}{(s + \omega_n)^2} \frac{1}{s} = \frac{1}{s} - \frac{1}{s + \omega_n} - \frac{\omega_n}{(s + \omega_n)^2}$$

$$y(t) = 1 - e^{-\omega_n t} (1 + \omega_n t), \quad t \geq 0 \quad (3.16)$$

(3.16)是无振荡的上升曲线;



# 二阶规范系统单位阶跃响应

过阻尼的情况(  $\zeta > 1$  )

$$-p_{1,2} = -\zeta\omega_n \pm \omega_n\sqrt{\zeta^2 - 1} = -\omega_n(\zeta \mp \sqrt{\zeta^2 - 1})$$

$$Y(s) = \frac{\omega_n^2}{(s + p_1)(s + p_2)} \frac{1}{s} = \frac{1}{s} + \frac{\omega_n}{2\sqrt{\zeta^2 - 1}} \left( \frac{-1/p_1}{s + p_1} + \frac{1/p_2}{s + p_2} \right)$$

$$y(t) = 1 - \frac{\omega_n}{2\sqrt{\zeta^2 - 1}} \left( \frac{-1}{p_1} e^{-p_1 t} + \frac{1}{p_2} e^{-p_2 t} \right), \quad t \geq 0 \quad (3.17)$$

$$\text{若令 } T_1 = \frac{1}{|-p_1|} = \frac{1}{p_1} = \frac{1}{\omega_n(\zeta - \sqrt{\zeta^2 - 1})}$$
$$T_2 = \frac{1}{|-p_2|} = \frac{1}{p_2} = \frac{1}{\omega_n(\zeta + \sqrt{\zeta^2 - 1})}$$

为过阻尼二阶规范系统的两个时间常数，可得



# 二阶规范系统单位阶跃响应

$$y(t) = 1 - \frac{\omega_n}{2\sqrt{\zeta^2 - 1}} \left( T_1 e^{-\frac{t}{T_1}} - T_2 e^{-\frac{t}{T_2}} \right)$$

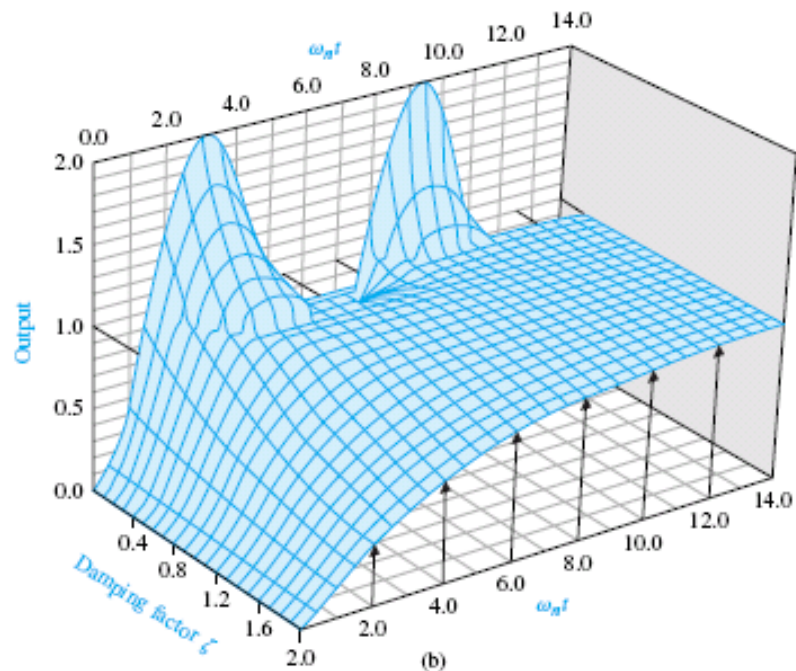
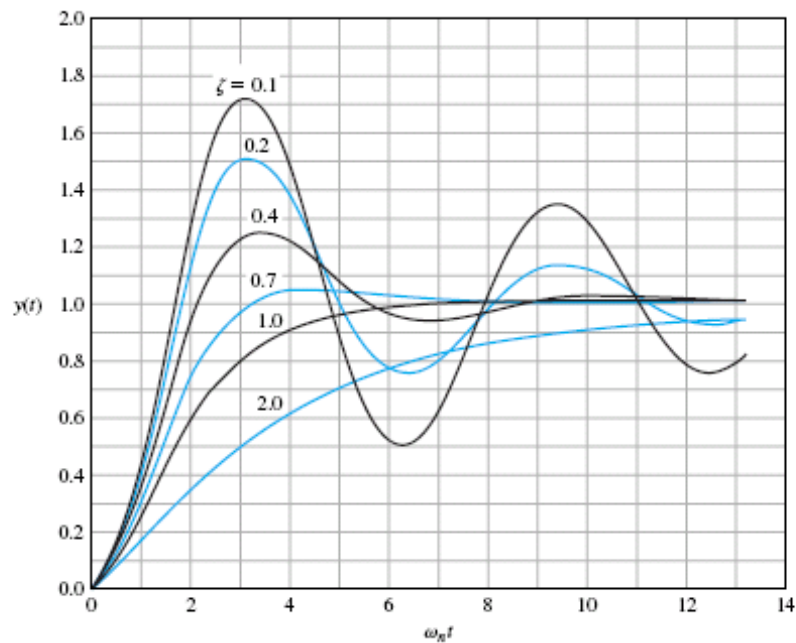
$$= 1 - \frac{1}{2\sqrt{\zeta^2 - 1}} \left( \frac{1}{\zeta - \sqrt{\zeta^2 - 1}} e^{-\frac{t}{T_1}} - \frac{1}{\zeta + \sqrt{\zeta^2 - 1}} e^{-\frac{t}{T_2}} \right), t \geq 0 \quad (3.18)$$

$$\frac{T_1}{T_2} = \frac{|-p_2|}{|-p_1|} = \frac{\zeta + \sqrt{\zeta^2 - 1}}{\zeta - \sqrt{\zeta^2 - 1}} = \left( \zeta + \sqrt{\zeta^2 - 1} \right)^2$$

当  $\zeta \gg 1, T_1 \gg T_2$ ,  $e^{-\frac{t}{T_2}}$  项的衰减比  $e^{-\frac{t}{T_1}}$  项快得多  $e^{-\frac{t}{T_1}}$  项的系数

也较大对于系统暂态响应  $e^{-\frac{t}{T_2}}$  项在后期的影响很小,因此当  $\zeta \gg 1, T_1 \gg T_2, (|-p_2| \gg |-p_1|)$ , 系统暂态响应近似于阶系统

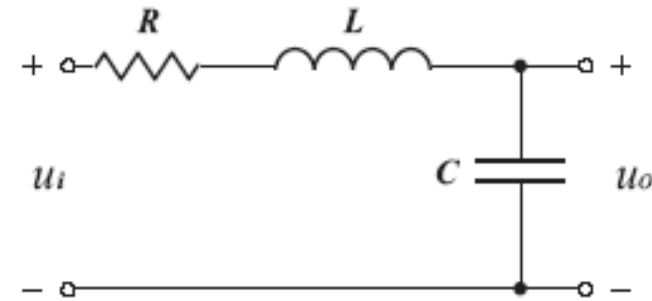
# 二阶规范系统阶跃响应曲线



| $\zeta$ | $\zeta = 0$ 无阻尼 | $0 < \zeta < 1$ 欠阻尼 | $\zeta = 1$ 临界阻尼 | $\zeta > 1$ 过阻尼 |
|---------|-----------------|---------------------|------------------|-----------------|
| 响应      | 无衰减振荡           | 衰减振荡                | 无振荡              | 无振荡             |

# 二阶规范系统的暂态响应特性

<例3.1>: 如图RLC串联网路



解: 传递函数为

$$G(s) = \frac{Y(s)}{R(s)} = \frac{1}{LCs^2 + RCs + 1} = \frac{\frac{1}{LC}}{s^2 + \frac{R}{L}s + \frac{1}{LC}}$$

$$\omega_n = \frac{1}{\sqrt{LC}} \quad 2\zeta\omega_n = \frac{R}{L} \quad \zeta = \frac{R}{2\omega_n L} = \frac{1}{2} \sqrt{LC} \frac{R}{L} = \frac{1}{2} \sqrt{\frac{R}{1} \frac{R}{sL}} = \frac{1}{2} \sqrt{\frac{R}{Cs}}$$

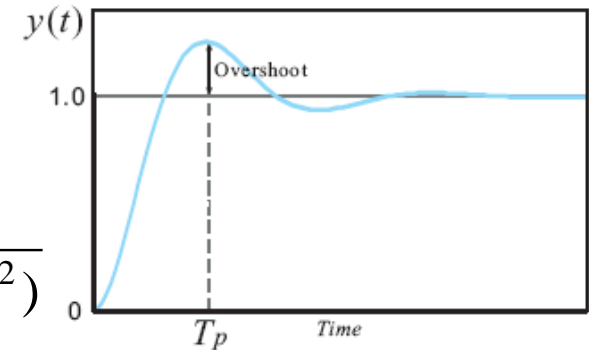
$\zeta$ 大  $\square$   $R$ 较大 ( $R$ 为耗能元件)  $Ls, 1/Cs$  较小 ( $L, C$ 储能元件)

$R$ 较大, 能耗较大 (如上串联电路中) 磁能和场能相互转换过程中在  $R$  上耗能较多, 使得振荡衰减较快, 甚至不能产生振荡。

# 二阶规范系统的暂态响应特性

峰值时间  $T_p$ : 响应曲线第一次达到峰值的时间

$$\left. \frac{dy(t)}{dt} \right|_{t=T_p} = 0 \quad sY(s) = \frac{\omega_n^2}{s^2 + 2\zeta\omega_n s + \omega_n^2}$$
$$= \frac{\omega_n}{\sqrt{1-\zeta^2}} \frac{\omega_n \sqrt{1-\zeta^2}}{(s + \zeta\omega_n)^2 + \omega_n^2(1-\zeta^2)}$$



$$\frac{dy(t)}{dt} = \frac{\omega_n}{\sqrt{1-\zeta^2}} e^{-\zeta\omega_n t} \sin \omega_d t = 0$$

$$\sin \omega_d t = 0 \Rightarrow \omega_d t = n\pi \Rightarrow t = n\pi / \omega_d, (n = 0, 1, 2, \dots)$$

第一次到达峰值, 取  $n = 1$

$$T_p = \frac{\pi}{\omega_d} = \frac{\pi}{\omega_n \sqrt{1-\zeta^2}}$$

(3.19)

# 二阶规范系统的暂态响应特性

## 2) 超调量 $\sigma\%$ :

$$t = T_p = \pi / \omega_d$$

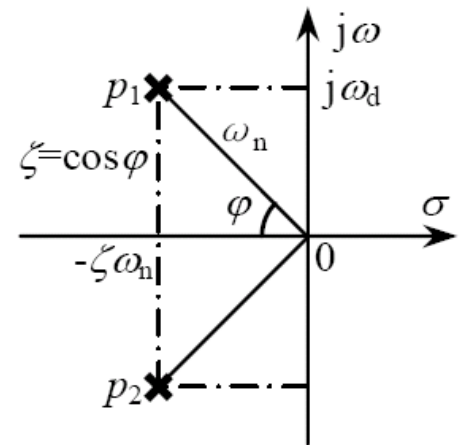
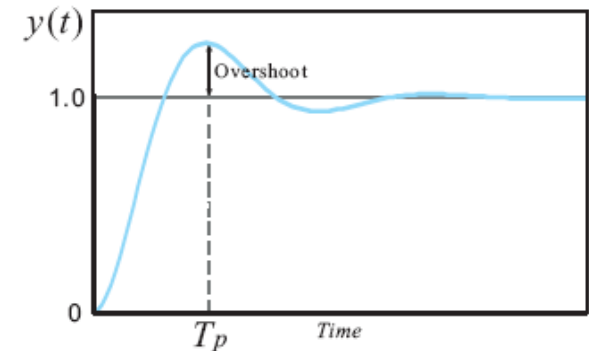
$$\sigma\% = [y(T_p) - 1] \times 100\%$$

$$= -\frac{1}{\sqrt{1-\zeta^2}} e^{-\zeta\omega_n T_p} \sin(\omega_d T_p + \varphi)$$

$$= -\frac{1}{\sqrt{1-\zeta^2}} \exp\left(-\zeta\omega_n \frac{\pi}{\omega_n \sqrt{1-\zeta^2}}\right) \sin(\pi + \varphi)$$

又因为  $\sin(\pi + \varphi) = -\sin \varphi = -\sqrt{1-\zeta^2}$

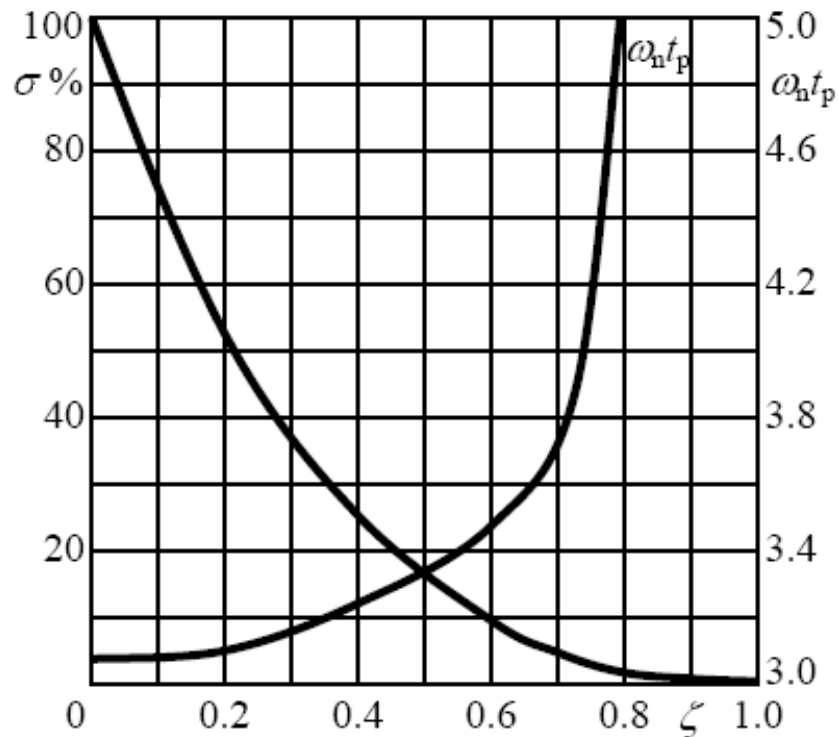
$$\sigma\% = \exp\left(-\frac{\zeta\pi}{\sqrt{1-\zeta^2}}\right) \times 100\%$$



(3.20)

# 二阶规范系统的暂态响应特性

**注意：**超调量 $\sigma\%$ 只是 $\zeta$ 的函数, 与 $\omega_n$ 无关



$\sigma\%$ 以及 $\omega_n T_p$ 与 $\zeta$ 的关系

# 二阶规范系统的暂态响应特性

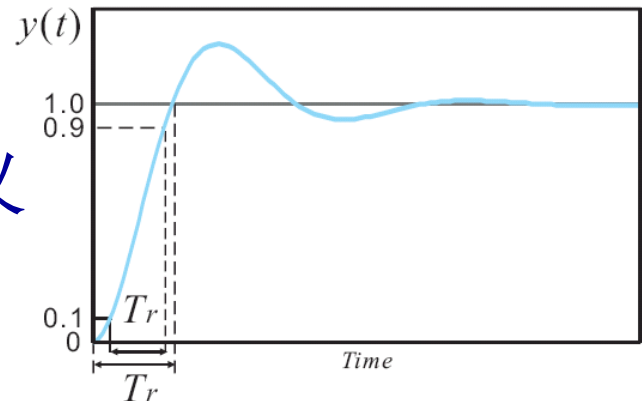
## 3) 上升时间 $T_r$ :

采用“0→100%”的上升时间定义

$$y(T_r) = 1 - \frac{1}{\sqrt{1-\zeta^2}} e^{-\zeta\omega_n T_r} \sin(\omega_d T_r + \varphi) = 1$$

$$\text{令 } \sin(\omega_d T_r + \varphi) = 0 \Rightarrow \omega_d T_r + \varphi = \pi$$

$$T_r = \frac{\pi - \varphi}{\omega_d} = \frac{\pi - \varphi}{\omega_n \sqrt{1 - \zeta^2}}$$



(3.21)

# 二阶规范系统的暂态响应特性

## 4) 调节时间 $T_s$ :

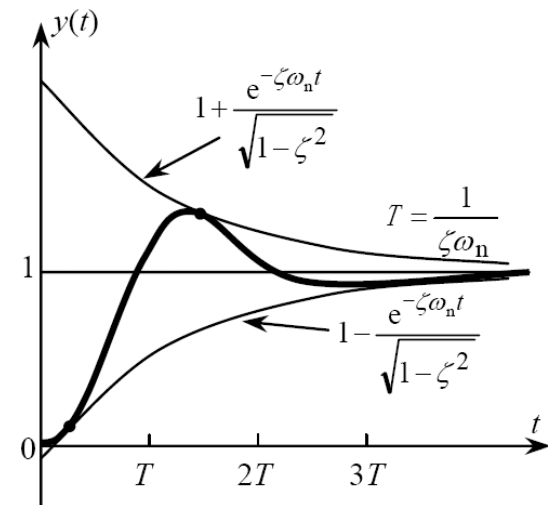
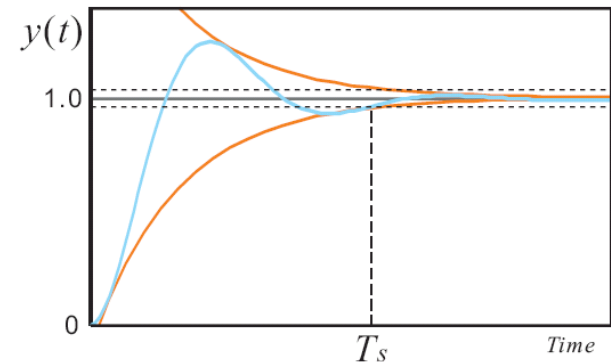
$$t \geq T_s : |y(t) - y(\infty)| \leq y(\infty)\Delta$$

响应曲线的包络线:  $1 \pm \frac{1}{\sqrt{1-\zeta^2}} e^{-\zeta\omega_n t}$

$$\left| \frac{1}{\sqrt{1-\zeta^2}} e^{-\zeta\omega_n t} \sin(\omega_d t + \varphi) \right| \leq \Delta$$

为了便于计算,近似取

$$\frac{1}{\sqrt{1-\zeta^2}} e^{-\zeta\omega_n T_s} \approx \Delta$$



$$T_s = \frac{1}{\zeta\omega_n} \ln \frac{1}{\Delta \sqrt{1-\zeta^2}} = \frac{1}{\zeta\omega_n} \left[ -\ln \Delta - \frac{1}{2} \ln(1-\zeta^2) \right] \quad (3.22)$$



# 二阶规范系统的暂态响应特性

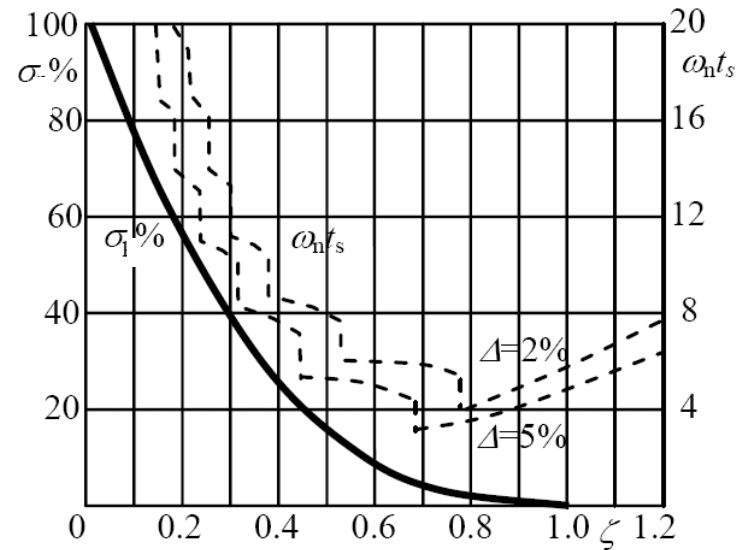
$$T_s(2\%) = \frac{1}{\zeta\omega_n} \left[ 4 - \frac{1}{2} \ln(1 - \zeta^2) \right] \quad (3.23)$$

$$T_s(5\%) = \frac{1}{\zeta\omega_n} \left[ 3 - \frac{1}{2} \ln(1 - \zeta^2) \right] \quad (3.24)$$

对于  $0 < \zeta < 0.9$ , 近似取

$$T_s(2\%) = \frac{4}{\zeta\omega_n} \quad (3.25)$$

$$T_s(5\%) = \frac{3}{\zeta\omega_n} \quad (3.26)$$



$T_s$  的精确曲线实际上是不连续的, 由  $T_s$  的定义, 可知造成  $T_s$  为不连续的曲线, 如图所示.

# 二阶规范系统的暂态响应特性

## 5) 延迟时间 $T_d$ :

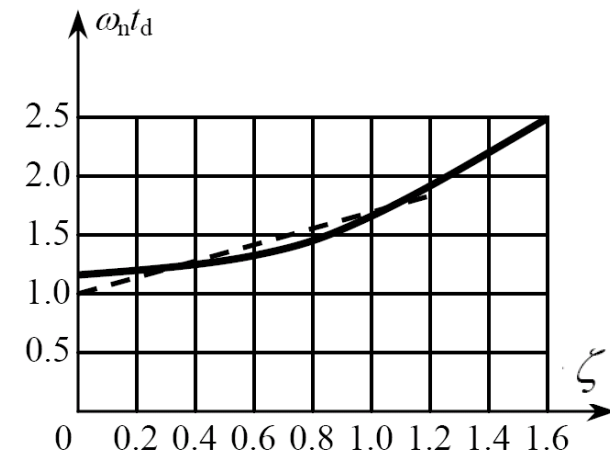
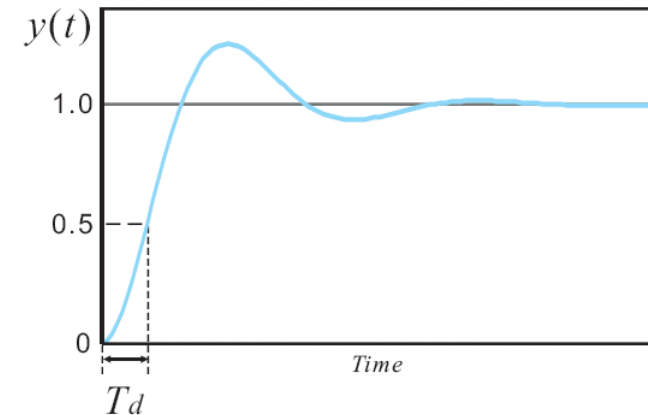
$$t = T_d, y(T_d) = 0.5$$

$$\frac{1}{\sqrt{1-\zeta^2}} e^{-\zeta\omega_n T_d} \sin(\omega_d T_d + \varphi) = 0.5$$

$T_d$ 的求解由隐函数给出

$$\omega_n T_d = \frac{1}{\zeta} \ln \frac{2 \sin(\omega_d T_d + \varphi)}{\sqrt{1-\zeta^2}} \quad (3.27)$$

其曲线如图所示





# 二阶规范系统的暂态响应特性

## 6) 振荡次数 $N$ :

阻尼振荡周期:

$$\tau_d = \frac{2\pi}{\omega_d} = \frac{2\pi}{\omega_n \sqrt{1-\zeta^2}}$$

由公式(3.25)或(3.26)可以给出振荡次数 $N$ 的近似计算公式:

$$N = \frac{T_s}{\tau_d} = \frac{(3 \sim 4)\sqrt{1-\zeta^2}}{2\pi\zeta} \quad (3.28)$$



# 二阶规范系统的暂态响应特性

**注：** 兼顾超调量和响应时间，控制系统常选择

$$\zeta = 0.4 \sim 0.8, \text{ 相应的 } \sigma\% = 25.4\% \sim 1.5\%$$

实际控制系统常选取工作在欠阻尼状态，只有当不允许出现超调或对象本身惯性很大时，才采用接近临界阻尼的过阻尼状态。

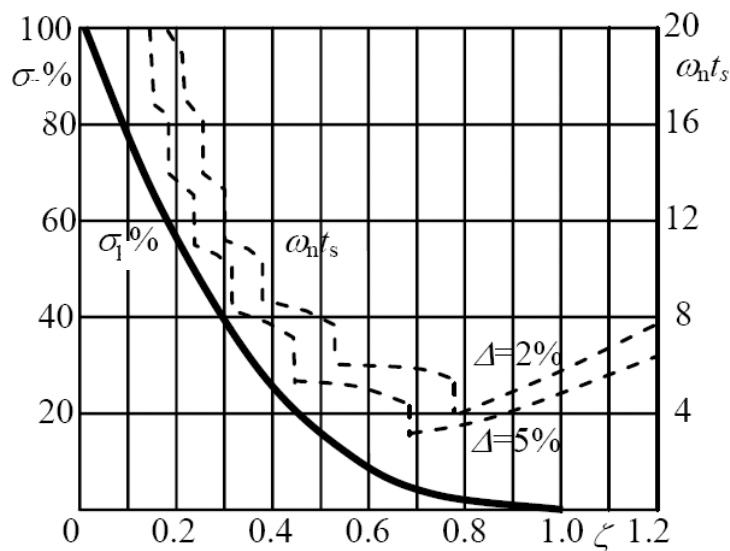
# 二阶规范系统的暂态响应特性

## 二阶工程最佳参数

某些控制系统采用所谓“二阶工程最佳参数”作为控制系统工程设计的依据，即选择参数使

$$\zeta = 1/\sqrt{2} = 0.707, \text{ 相应的 } \sigma\% = e^{-\pi} \times 100\% = 4.3\%$$

由  $\sigma\%$  和  $\omega_n T_s$  与  $\zeta$  的关系曲线可见，此时控制系统较好地兼顾了暂态响应和平稳性与快速性。





# 零点vs系统响应

对于二阶规范系统，添加一个闭环零点，  
则其闭环传函为：

$$\begin{aligned} T(s) &= \frac{Y_Z(s)}{R(s)} = \frac{\omega_n^2 (\tau s + 1)}{s^2 + 2\zeta\omega_n s + \omega_n^2} \\ &= \frac{\omega_n^2 (s + z)}{z(s^2 + 2\zeta\omega_n s + \omega_n^2)} \end{aligned} \quad (3.29)$$

其中， $-z = -\frac{1}{\tau}$  为闭环零点

# 零点vs系统响应

## ■ 具有零点的二阶系统的单位阶跃响应

$$r(t) = 1(t), R(s) = 1/s; \quad 0 < \zeta < 1$$

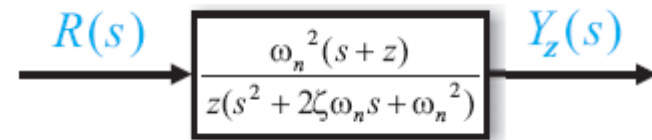
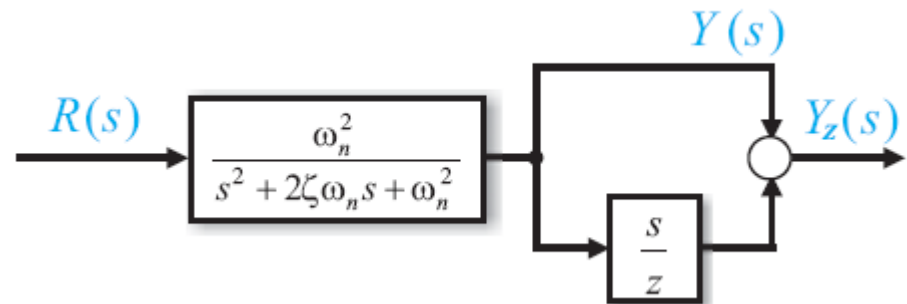
$$\Phi_Z(s) = \frac{\omega_n^2}{s^2 + 2\zeta\omega_n s + \omega_n^2} + \frac{s}{z} \frac{\omega_n^2}{s^2 + 2\zeta\omega_n s + \omega_n^2}$$

其等效结构图

$$Y_Z(s) = Y(s) + \frac{s}{z} Y(s)$$

考虑到零初始条件

$$y_Z(t) = y(t) + \frac{1}{z} \dot{y}(t)$$

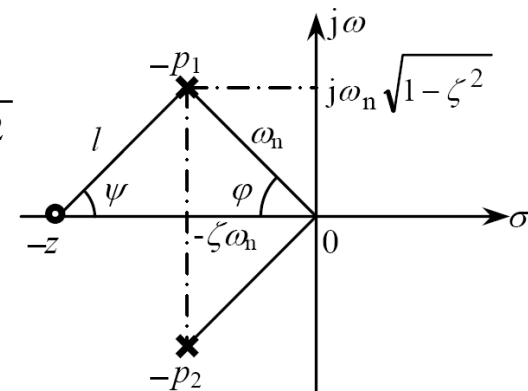


# 零点vs系统响应

$$\begin{aligned} \frac{1}{z} \dot{y}(t) &= \frac{e^{-\zeta\omega_n t}}{z\sqrt{1-\zeta^2}} (\zeta\omega_n \sin(\omega_d t + \varphi) - \omega_d \cos(\omega_d t + \varphi)) \\ y_z(t) &= y(t) + \frac{1}{z} \dot{y}(t) \\ &= 1 - \frac{e^{-\zeta\omega_n t}}{z\sqrt{1-\zeta^2}} ((z - \zeta\omega_n) \sin(\omega_d t + \varphi) - \omega_d \cos(\omega_d t + \varphi)) \\ &= 1 - \frac{e^{-\zeta\omega_n t}}{\sqrt{1-\zeta^2}} \frac{l}{z} \sin(\omega_d t + \varphi + \psi), t \geq 0 \end{aligned} \quad (3.30)$$

$$\text{其中 } l = \sqrt{(z - \zeta\omega_n)^2 + \omega_d^2} = \sqrt{z^2 - 2\zeta\omega_n z + \omega_n^2}$$

$$\psi = \operatorname{tg}^{-1} \frac{\omega_n \sqrt{1-\zeta^2}}{z - \zeta\omega_n}, \quad \varphi = \operatorname{tg}^{-1} \frac{\sqrt{1-\zeta^2}}{\zeta}$$



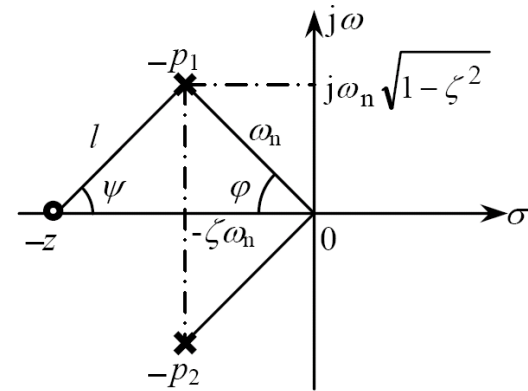


# 零点vs系统响应

$$\frac{l}{z} = \frac{\sqrt{z^2 - 2\zeta\omega_n z + \omega_n^2}}{z} = \sqrt{1 - \frac{2\zeta\omega_n}{z} + \frac{\omega_n^2}{z^2}}$$

$$= \frac{1}{\zeta} \sqrt{\zeta^2 - 2r\zeta^2 + r^2}$$

其中  $r = \frac{\zeta\omega_n}{z}$  为复数极点实部与零点比



$$y(t) = 1 - \frac{\sqrt{\zeta^2 - 2r\zeta^2 + r^2}}{\zeta\sqrt{1-\zeta^2}} e^{-\zeta\omega_n t} \sin(\omega_d t + \varphi + \psi), t \geq 0 \quad (3.31)$$

# 零点vs系统响应

## ■ 具有零点的二阶系统的暂态特性

### 1) 上升时间 $T_{rz}$ :

$$T_{rz} = \frac{\pi - \varphi - \psi}{\omega_d} = T_r - \frac{\psi}{\omega_d} \rightarrow \text{提前} \quad (3.32)$$

### 2) 峰值时间 $T_p$ :

$$T_{pz} = \frac{\pi - \psi}{\omega_d} = T_p - \frac{\psi}{\omega_d} \rightarrow \text{提前} \quad (3.33)$$

### 3) 超调量 $\sigma\%$ :

$$\sigma_z \% = \frac{1}{\zeta} \sqrt{\zeta^2 - 2r\zeta^2 + r^2} e^{-\zeta\omega_n T_{pz}} \times 100\% \quad (3.34)$$

$$= \frac{l}{z} e^{-\zeta\omega_n T_p} e^{\frac{\zeta\omega_n \psi}{\omega_d}} = \sigma \% \frac{l}{z} e^{\frac{\zeta\psi}{\sqrt{1-\zeta^2}}} \rightarrow \text{增大}$$



# 零点vs系统响应

## 4) 调节时间 $T_{sz}$ :

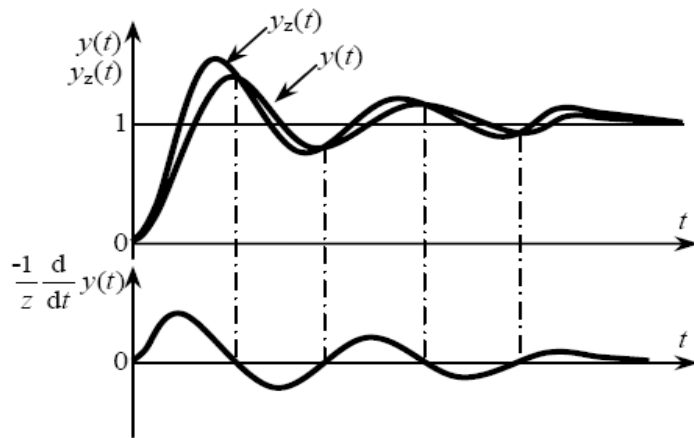
与求解  $T_s$  类似，近似取

$$\frac{l}{z} \frac{e^{-\zeta\omega_n t}}{\sqrt{1-\zeta^2}} = \Delta$$

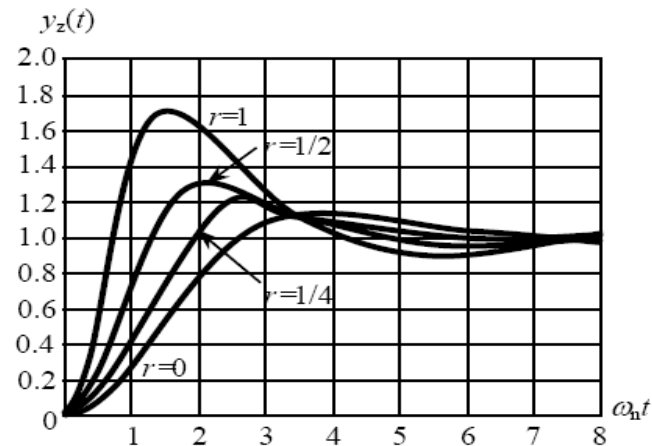
$$T_{sz} = \frac{1}{\zeta\omega_n} \left[ -\ln \Delta - \frac{1}{2} \ln(1-\zeta^2) + \ln \frac{l}{z} \right]$$

$$= T_s + \frac{1}{\zeta\omega_n} \ln \frac{l}{z} \quad \rightarrow \text{加长} \quad (3.35)$$

# 零点vs系统响应



(a) 闭环零点对系统暂态响应的影响



(b) 单位阶跃响应曲线 ( $\zeta=0.5$ )

添加零点对原无零点规范二阶系统性能的影响：

峰值时间提前；

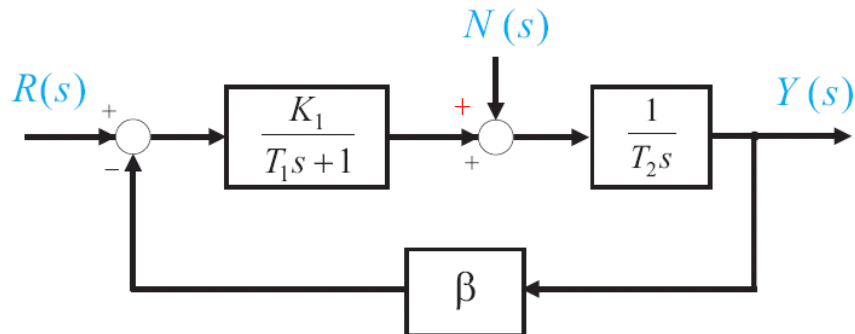
超调量增大(振荡加剧)；

调节时间增长

$$\frac{z}{\zeta\omega_n} = \frac{1}{r} \text{ 越小，影响越大}$$

# 零点vs系统响应

## <例3.2>: 负载作用下的二阶系统



解：当参考输入  $r(t)$  作用下时 ( $n(t) = 0$ ):

$$\frac{Y(s)}{R(s)} = \frac{K_1}{T_1 T_2 s^2 + T_2 s + \beta K_1} \quad \text{无零点的二阶系统}$$

当负载  $n(t)$  作用下时 ( $r(t)=0$ ):

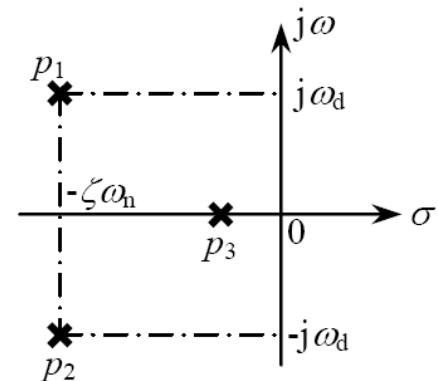
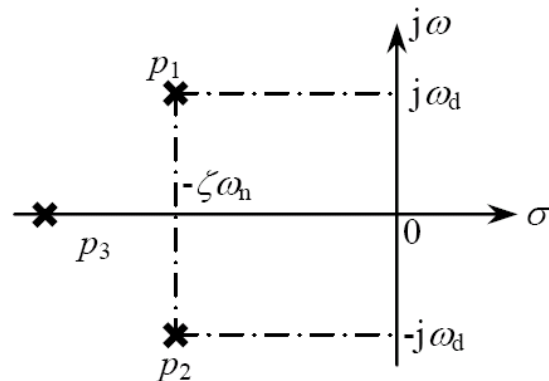
$$\frac{Y(s)}{R(s)} = \frac{T_1 s + 1}{T_1 T_2 s^2 + T_2 s + \beta K_1} \quad \text{有零点的二阶系统}$$

# 3.5 三阶系统的暂态响应特性

## 典型三阶系统的闭环传递函数

$$\begin{aligned}\frac{Y(s)}{R(s)} &= \frac{\omega_n^2}{(Ts + 1)(s^2 + 2\zeta\omega_n s + \omega_n^2)} \\ &= \frac{\omega_n^2 p}{(s + p)[(s + \zeta\omega_n)^2 + \omega_n^2(1 - \zeta^2)]}\end{aligned}\quad (3.36)$$

其中  $p = 1/T$



# 三阶系统的暂态响应特性

## 典型三阶系统的单位阶跃响应

当  $0 < \zeta < 1, r(t) = 1(t), R(s) = 1/s$

$$Y(s) = \frac{\omega_n^2 p}{(s+p)(s^2 + 2\zeta\omega_n s + \omega_n^2)} \frac{1}{s} = \frac{A_0}{s} + \frac{A_1}{s+p} + \frac{A_2 s + A_3}{s^2 + 2\zeta\omega_n s + \omega_n^2}$$
$$= \frac{A_0}{s} + \frac{A_1}{s+p} + \frac{A_2(s + \zeta\omega_n) - A_2\zeta\omega_n + A_3}{s^2 + 2\zeta\omega_n s + \omega_n^2}$$

$$A_0 = 1 \quad A_1 = \frac{-1}{\zeta^2 \beta(\beta - 2) + 1} \quad A_2 = \frac{-\zeta^2 \beta(\beta - 2)}{\zeta^2 \beta(\beta - 2) + 1}$$

$$-A_2\zeta\omega_n + A_3 = \frac{-\beta\zeta\omega_n[\zeta^2(\beta - 2) + 1]}{\zeta^2 \beta(\beta - 2) + 1} = \frac{-\beta\zeta[\zeta^2(\beta - 2) + 1]\omega_n \sqrt{1 - \zeta^2}}{[\zeta^2 \beta(\beta - 2) + 1]\sqrt{1 - \zeta^2}}$$

# 三阶系统的暂态响应特性

$$\begin{aligned} y(t) &= 1 - \frac{e^{-pt}}{\zeta^2 \beta(\beta - 2) + 1} - \frac{e^{-\zeta \omega_n t}}{\zeta^2 \beta(\beta - 2) + 1} \\ &\times \left[ \zeta^2 \beta(\beta - 2) \cos \omega_d t + \frac{\beta \zeta [\zeta^2 (\beta - 2) + 1]}{\sqrt{1 - \zeta^2}} \sin \omega_d t \right] \\ &= 1 - \frac{e^{-\beta \zeta \omega_n t}}{\zeta^2 \beta(\beta - 2) + 1} - \frac{\beta \zeta e^{-\zeta \omega_n t}}{\sqrt{1 - \zeta^2} \sqrt{\zeta^2 \beta(\beta - 2) + 1}} \sin(\omega_d t + \gamma), t \geq 0 \end{aligned} \quad (3.37)$$

$$\gamma = \operatorname{tg}^{-1} \frac{\zeta(\beta - 2)\sqrt{1 - \zeta^2}}{\zeta^2(\beta - 2) + 1}$$

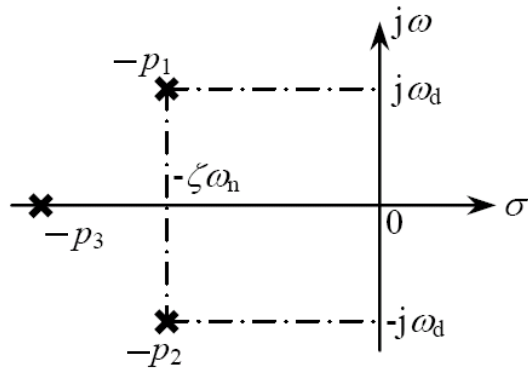
$$\beta = \frac{p}{\zeta \omega_n} \left( \text{比较: 有零点二阶系统 } \frac{1}{r} = \frac{z}{\zeta \omega_n} \right)$$

注:  $\zeta^2 \beta(\beta - 2) + 1 = \zeta^2 \beta^2 - 2\zeta^2 \beta + 1 = \zeta^2 (\beta - 1)^2 + (1 - \zeta^2) > 0$

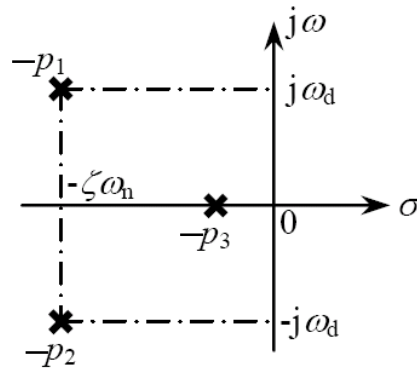
$\Rightarrow e^{-pt}$  项的系数总是为负数



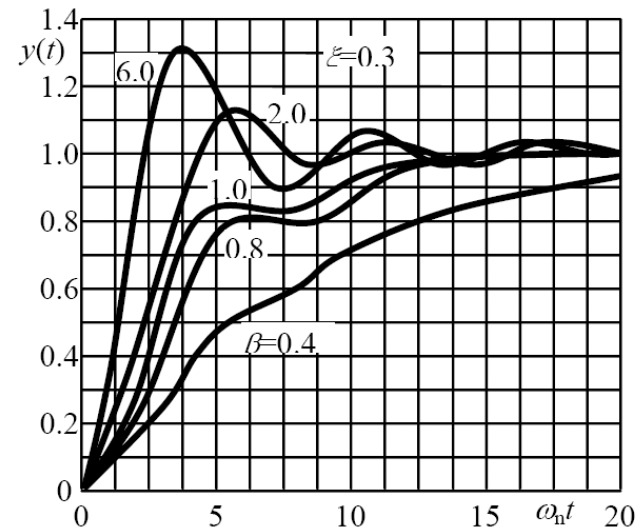
# 三阶系统的暂态响应特性



(a)  $\beta > 1$  时



(b)  $\beta < 1$  时



## 讨论:

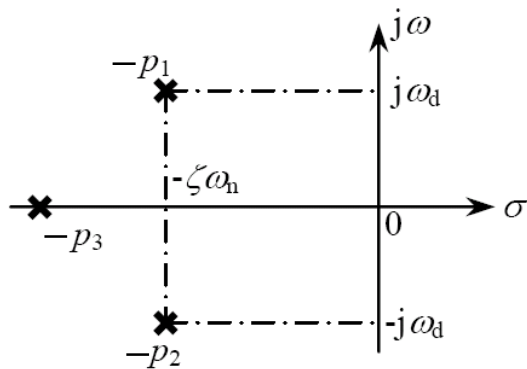
1)  $y(t)$  与  $\zeta, \omega_n, \beta = \frac{p}{\zeta\omega_n}$  有关

$\beta \rightarrow \infty$ , 相当于二阶系统;

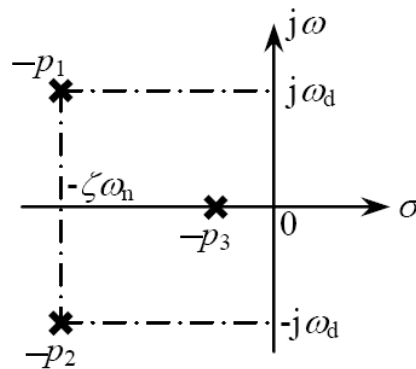
$\beta \gg 1$ , 共轭复数极点为主导极点, 响应主要呈现为二阶特性;

$\beta \ll 1$ , 实极点为主导极点, 响应主要呈现为一阶特性;

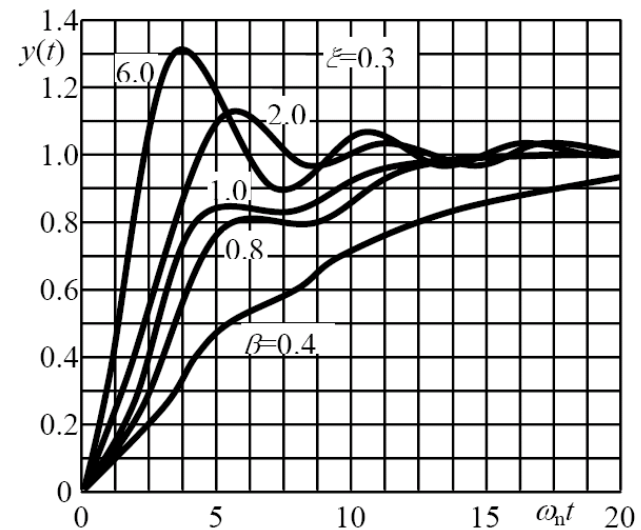
# 三阶系统的暂态响应特性



(a)  $\beta > 1$  时



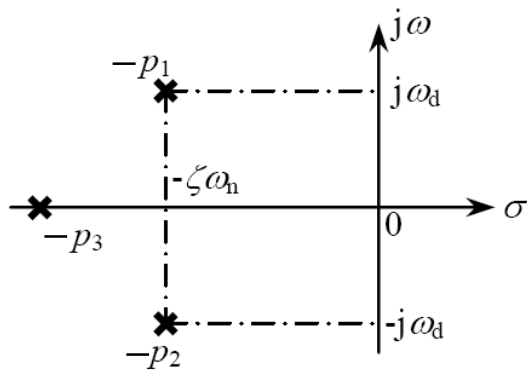
(b)  $\beta < 1$  时



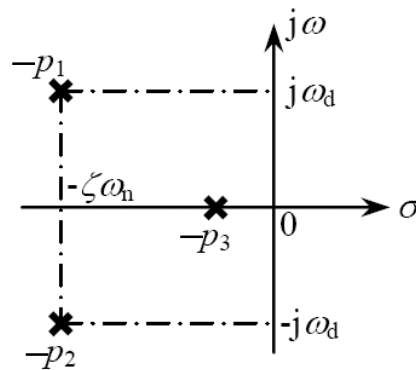
## 讨论:

- 2) 当  $\beta \geq 5$  左右(或者  $\beta \leq 1/5$  左右), 可按照主导极点共轭复数极点或按照主导极点实极点估算暂态响应特性

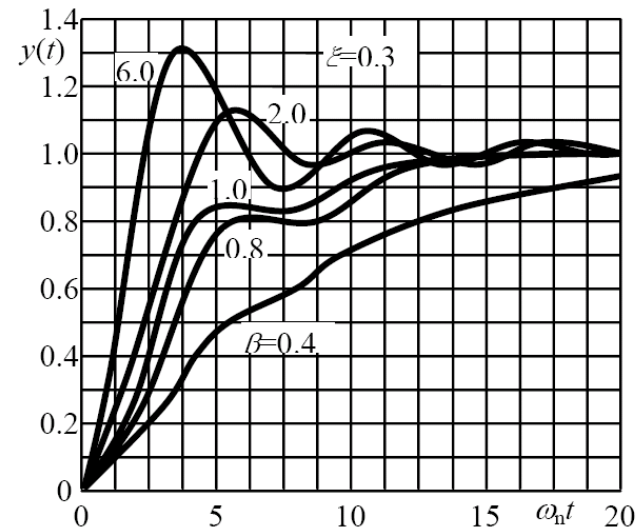
# 三阶系统的暂态响应特性



(a)  $\beta > 1$  时

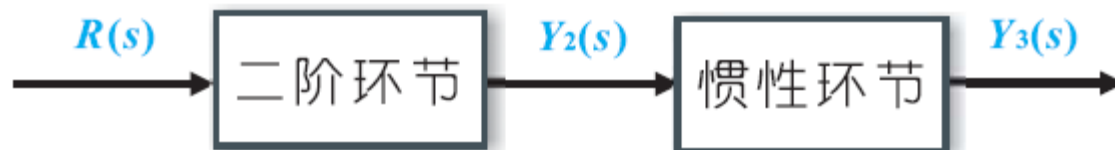


(b)  $\beta < 1$  时



## 讨论:

- 3) 实极点的影响：振荡减弱，超调量减小，响应速度变慢，相当于增加了系统的惯性；





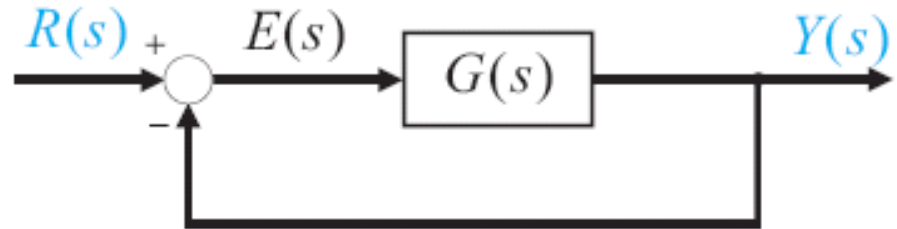
# 三阶系统的暂态响应特性

- 高阶控制系统的增益，常调整到使系统有一对闭环共轭复数主导极点。稳定系统中这一对共轭复数主导极点会减小非线性因素(如死区、间隙等)对系统性能的影响。

## 3.6 控制系统的稳态误差

### 3.6.1 单位反馈系统的稳态误差

误差信号



$$e(t) = r(t) - y(t)$$

$$E(s) = R(s) - Y(s)$$

$$E(s) = R(s) - \frac{G(s)}{1 + G(s)} R(s) = \frac{1}{1 + G(s)} R(s) = \Phi_e(s) R(s) \quad (3.39)$$

$$\Phi_e(s) = \frac{1}{1 + G(s)} = \frac{1}{1 + G_k(s)} \quad \text{称为误差传递函数}$$

稳态误差

$$e_{ss} = \lim_{s \rightarrow 0} sE(s) = \lim_{s \rightarrow 0} \frac{sR(s)}{1 + G(s)} \quad (3.41)$$

稳态误差由开环传递函数和输入决定

# 单位反馈系统的稳态误差

## 开环传递函数( $n$ 阶系统)

$$G(s) = \frac{K \prod_{i=1}^m (T_i s + 1)}{s^N \prod_{j=1}^{n-N} (\tau_j s + 1)} \quad (3.41)$$



$N$ : 开环传递函数 $G(s)$ 中零极点的重数, 即串联的积分环节的个数, 称为**系统的类型(或无差阶数)**

$N = 0, 1, 2, \dots$  分别称为0型, 1型, 2型,  $\dots$  系统



# 单位反馈系统的稳态误差

以静态误差系数给出典型输入下的系统的稳态误差:

1) 阶跃输入:  $R(s) = \frac{A}{s}$

$$e_{ss} = \lim_{s \rightarrow 0} sE(s) = \lim_{s \rightarrow 0} \frac{s}{1+G(s)} \frac{A}{s} = \lim_{s \rightarrow 0} \frac{A}{1+G(s)} \quad (3.42)$$

静态位置误差系数  $K_p \stackrel{\text{def}}{=} \lim_{s \rightarrow 0} G(s) = \lim_{s \rightarrow 0} \frac{K}{s^N} \quad (3.43)$

稳态误差  $e_{ss} = \frac{1}{1+K_p} \quad (3.44)$

0型系统:  $K_p = K \quad e_{ss} = \frac{A}{1+K}$

1型,2型系统:  $K_p = \infty \quad e_{ss} = 0$



# 单位反馈系统的稳态误差

2) 斜坡输入:  $R(s) = \frac{A}{s^2}$

$$e_{ss} = \lim_{s \rightarrow 0} sE(s) = \lim_{s \rightarrow 0} \frac{A}{s[1 + G(s)]} = \lim_{s \rightarrow 0} \frac{A}{sG(s)} \quad (3.45)$$

静态速度误差系数

$$K_v \stackrel{def}{=} \lim_{s \rightarrow 0} sG(s) = \lim_{s \rightarrow 0} \frac{K}{s^{N-1}} \quad (3.46)$$

稳态误差

$$e_{ss} = \frac{1}{K_v} \quad (3.47)$$

0型系统:  $K_v = 0$   $e_{ss} = \infty$

1型系统:  $K_v = K$   $e_{ss} = \frac{A}{K}$

2型系统:  $K_v = \infty$   $e_{ss} = 0$





# 单位反馈系统的稳态误差

3) 抛物线输入:  $R(s) = \frac{A}{s^3}$

$$e_{ss} = \lim_{s \rightarrow 0} sE(s) = \lim_{s \rightarrow 0} \frac{A}{s^2[1+G(s)]} = \lim_{s \rightarrow 0} \frac{A}{s^2 G(s)} \quad (3.48)$$

静态加速度误差系数

$$K_a \stackrel{def}{=} \lim_{s \rightarrow 0} s^2 G(s) = \lim_{s \rightarrow 0} \frac{K}{s^{N-2}} \quad (3.49)$$

稳态误差

$$e_{ss} = \frac{1}{K_a} \quad (3.50)$$

0型, 1型系统:  $K_a = 0 \quad e_{ss} = \infty$

2型系统:  $K_a = K \quad e_{ss} = \frac{A}{K}$

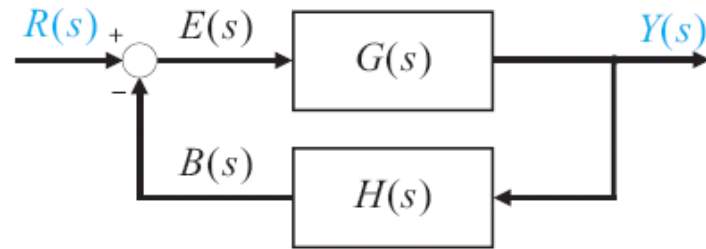
# 单位反馈系统的稳态误差

## ■ 稳态误差小结

| 系统的型<br>无差<br>阶数 | 误差系数     |          |       | 稳态误差                               |                                  |                                   |
|------------------|----------|----------|-------|------------------------------------|----------------------------------|-----------------------------------|
|                  | $K_p$    | $K_v$    | $K_a$ | 阶跃输入<br>$e_{ss} = \frac{A}{1+K_p}$ | 斜坡输入<br>$e_{ss} = \frac{A}{K_v}$ | 抛物线输入<br>$e_{ss} = \frac{A}{K_a}$ |
| 0 型              | $K$      | 0        | 0     | $A/(1+K)$                          | $\infty$                         | $\infty$                          |
| 1 型              | $\infty$ | $K$      | 0     | 0                                  | $A/K$                            | $\infty$                          |
| 2 型              | $\infty$ | $\infty$ | $K$   | 0                                  | 0                                | $A/K$                             |

## 3.6.2 非单位反馈系统的稳态误差

### 1) 折算到输入端



$$e(t) = r(t) - b(t)$$

$$\begin{aligned} E(s) &= R(s) - B(s) = R(s) - H(s) \frac{G(s)R(s)}{1 + G(s)H(s)} \\ &= \frac{1}{1 + G(s)H(s)} R(s) = \Phi_e(s) R(s) \end{aligned} \quad (3.51)$$

$$\Phi_e(s) = \frac{1}{1 + G(s)H(s)} = \frac{1}{1 + G_k(s)}$$

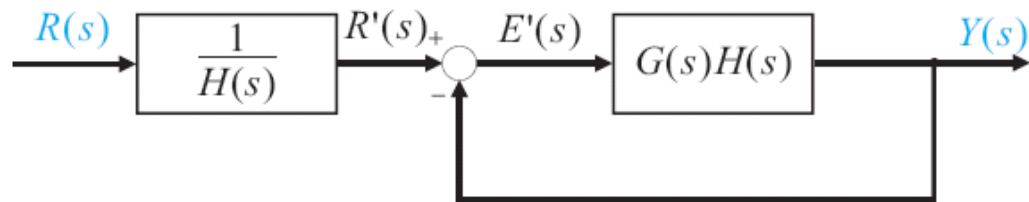
误差传递函数

$$G_k(s) = G(s)H(s)$$

开环传递函数

# 非单位反馈系统的稳态误差

## 2) 折算到输出端



$$R'(s) = \frac{1}{H(s)} R(s)$$

$$e'(t) = r'(t) - y(t)$$

$$E'(s) = R'(s) - Y(s) = R'(s) - \frac{G(s)H(s)}{1 + G(s)H(s)} R'(s)$$

$$= \frac{1}{1 + G(s)H(s)} R'(s) = \Phi_e(s) R'(s) = \frac{\Phi_e(s) R(s)}{H(s)} = \frac{E(s)}{H(s)} \quad (3.52)$$

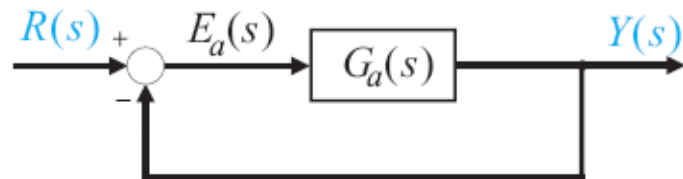
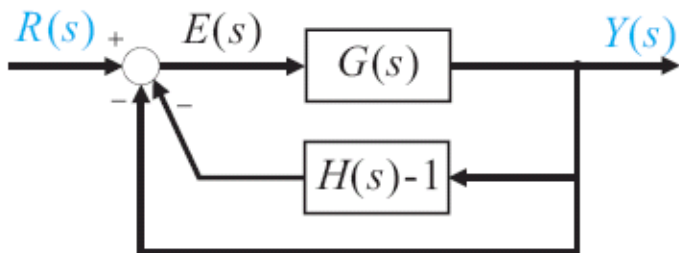
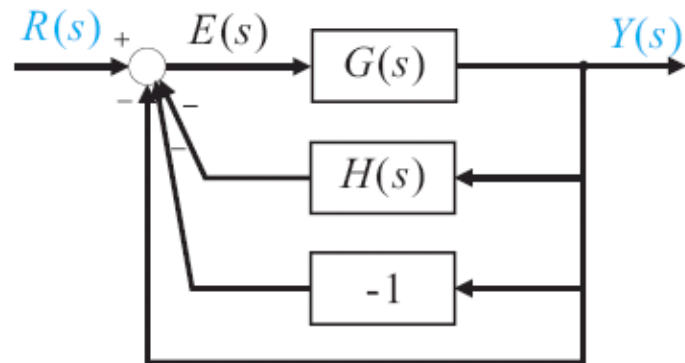
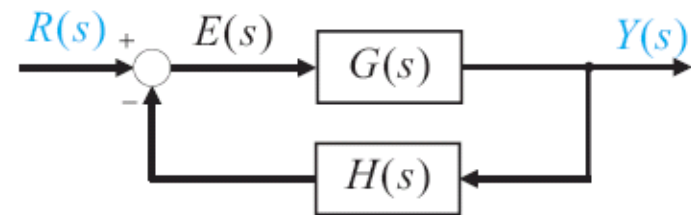
$e'(t)$ 的定义, 物理意义明确;

$e(t)$ 的定义, 结构图中有对应的量, 便于理论分析;

一般用 $e(t)$ 进行误差分析;

# 非单位反馈系统的稳态误差

非单位反馈系统可化为等效单位反馈系统讨论



$$G_a(s) = \frac{G(s)}{1 + G(s)H(s) - G(s)}$$

转换为讨论  $e_a(t) = r(t) - y(t)$



## 3.7 控制系统的稳定性

- 稳定系统是一个对于有界输入具有有界响应的动态系统
- 充要条件：系统传递函数的所有极点（系统矩阵的特征值）具有负实部
- 稳定性判据：Routh-Hurwitz稳定性判据



# Routh-Hurwitz稳定性判据

设线性控制系统的闭环传递函数为

$$G(s) = \frac{b_0 s^m + b_1 s^{m-1} + b_2 s^{m-2} + \cdots + b_{m-1} s + b_m}{a_0 s^n + a_1 s^{n-1} + a_2 s^{n-2} + \cdots + a_{n-1} s + a_n}$$

闭环系统的特征方程为

$$a_0 s^n + a_1 s^{n-1} + a_2 s^{n-2} + \cdots + a_{n-1} s + a_n = 0$$

特征方程式的根就是系统闭环传递函数的极点。



# Routh-Hurwitz稳定性判据

## 一. 系统稳定的必要条件

假设特征方程为

$$a_0 s^n + a_1 s^{n-1} + a_2 s^{n-2} + \cdots + a_{n-1} s + a_n = 0$$

根据代数理论中韦达定理所指出的方程根和系数的关系可知，为使系统特征方程的根都为负实部，其必要条件：

特征方程的各项系数均为正。

含义：1 各项系数符号相同（即同号）

2 各项系数均不等于0（即不缺项）





# Routh-Hurwitz稳定性判据

## 二. 控制系统稳定的充分必要条件

### *Routh*阵列

|           |             |             |          |          |       |         |
|-----------|-------------|-------------|----------|----------|-------|---------|
| $s^n$     | $a_0$       | $a_2$       | $a_4$    | $a_6$    | $a_8$ | $\dots$ |
| $s^{n-1}$ | $a_1$       | $a_3$       | $a_5$    | $a_7$    | $a_9$ | $\dots$ |
| $s^{n-2}$ | $a_{31}$    | $a_{32}$    | $a_{33}$ | $a_{34}$ |       |         |
| $s^{n-3}$ | $a_{41}$    | $a_{42}$    | $a_{43}$ | $a_{44}$ |       |         |
| $\dots$   | $\dots$     | $\dots$     | $\dots$  |          |       |         |
| $s^2$     | $a_{n-2,1}$ | $a_{n-2,2}$ |          |          |       |         |
| $s^1$     | $a_{n-1,1}$ |             |          |          |       |         |
| $s^0$     | $a_{n,1}$   |             |          |          |       |         |

特征方程全部为负实部根的充分必要条件是*Routh*表中第一列各值为正，

如*Routh*表第一列中出现小于零的数值，系统就不稳定，且第一列各数符号的改变次数，代表特征方程式的正实部根的数目。

# 小结

- 控制系统时间域的运动分析
- 通过典型输入信号下系统响应-- 单位阶跃响应, 讨论控制系统暂态响应的性能指标
- 重点:对规范二阶系统的暂态响应性能指标的讨论

$$T_p = \frac{\pi}{\omega_d} = \frac{\pi}{\omega_n \sqrt{1-\zeta^2}}$$

$$T_s(2\%) = \frac{4}{\zeta \omega_n}$$

$$T_r = \frac{\pi - \varphi}{\omega_d} = \frac{\pi - \varphi}{\omega_n \sqrt{1-\zeta^2}}$$

$$\sigma\% = \exp\left(-\frac{\zeta\pi}{\sqrt{1-\zeta^2}}\right) \times 100\%$$

$$T_s(5\%) = \frac{3}{\zeta \omega_n}$$

$$\varphi = \operatorname{tg}^{-1} \frac{\sqrt{1-\zeta^2}}{\zeta}$$



# 小结

注意到其中  $\delta\%$  只与  $\zeta$  有关

求解问题：
$$\left\{ \begin{array}{l} \zeta \rightarrow \sigma\% \\ \zeta, \omega_n \rightarrow T_s, T_r \end{array} \right\}, \left\{ \begin{array}{l} \sigma\% \rightarrow \zeta \\ T_s, T_r \rightarrow \end{array} \right\} \omega_n$$

在规范二阶系统暂态响应分析的基础上，讨论增加零点和极点的影响。对于高阶系统的分析，注意“主导极点”的概念；

控制系统稳态误差的分析，掌握几个静态误差系数及稳态误差的计算；



# 小结

## ■ 稳定性的概念和稳定性判据